

# Das T0-Modell (Planck-Referenziert)

## Eine Neuformulierung der Physik

Von Zeit-Energie-Dualität zu reiner  
energie-basierter Beschreibung der Natur

Eine theoretische Arbeit über die fundamentale  
Vereinfachung physikalischer Konzepte durch  
energie-basierte Formulierungen mit Planck-Skalen-Referenz

Johann Pascher  
Abteilung Kommunikationstechnik  
Höhere Technische Bundeslehranstalt (HTL), Leonding, Österreich  
[johann.pascher@gmail.com](mailto:johann.pascher@gmail.com)

28. November 2025

## Zusammenfassung

Das Standardmodell der Teilchenphysik und die Allgemeine Relativitätstheorie beschreiben die Natur mit über 20 freien Parametern und separaten mathematischen Formalismen. Das T0-Modell reduziert diese Komplexität auf ein einziges universelles Energiefeld  $E(x, t)$ , das durch den exakten geometrischen Parameter  $\xi_{\text{geom}} = \frac{4}{3} \times 10^{-4}$  und universelle Dynamik regiert wird:

$$\square E(x, t) = 0 \quad (1)$$

**Planck-Referenziertes Framework:** Diese Arbeit verwendet die etablierte Planck-Länge  $\ell_P = \sqrt{G}$  als Referenzskala, wobei T0-charakteristische Längen  $r_0 = 2GE$  auf sub-Planck-Skalen operieren. Das Skalenverhältnis  $\xi_{\text{rat}} = \ell_P/r_0$  liefert natürliche Dimensionsanalyse und SI-Einheitenkonversion.

**Energie-basiertes Paradigma:** Alle physikalischen Größen werden rein in Bezug auf Energie und Energieverhältnisse ausgedrückt. Die fundamentale Zeitskala ist  $t_0 = 2GE$ , und die grundlegende Dualitätsbeziehung ist  $T_{\text{field}} \cdot E_{\text{field}} = 1$ .

**Experimenteller Erfolg:** Die parameterfreie T0-Vorhersage für das anomale magnetische Moment des Myons stimmt mit dem Experiment auf 0,10 Standardabweichungen überein - eine spektakuläre Verbesserung gegenüber dem Standardmodell ( $4,2\sigma$ -Abweichung).

**Geometrische Grundlage:** Die Theorie basiert auf exakten geometrischen Beziehungen, eliminiert freie Parameter und liefert eine vereinheitlichte Beschreibung aller fundamentalen Wechselwirkungen durch Energiefeld-Dynamik.

# Inhaltsverzeichnis

<b>1 Die Zeit-Energie-Dualität als fundamentales Prinzip</b>	<b>2</b>
1.1 Mathematische Grundlagen . . . . .	2
1.1.1 Die fundamentale Dualitätsbeziehung . . . . .	2
1.1.2 Das intrinsische Zeitfeld mit Planck-Referenz . . . . .	2
1.1.3 Feldgleichung für das Energiefeld . . . . .	3
1.2 Planck-Referenzierte Skalenhierarchie . . . . .	3
1.2.1 Die Planck-Skala als Referenz . . . . .	3
1.2.2 T0-charakteristische Skalen als sub-Planck-Phänomene . . . . .	3
1.2.3 Der Skalenverhältnis-Parameter . . . . .	3
1.3 Geometrische Herleitung der charakteristischen Länge . . . . .	4
1.3.1 Energie-basierte charakteristische Länge . . . . .	4
1.3.2 Vollständige Energiefeld-Lösung . . . . .	4
1.4 Der universelle geometrische Parameter . . . . .	5
1.4.1 Die exakte geometrische Konstante . . . . .	5
1.5 Drei fundamentale Feldgeometrien . . . . .	5
1.5.1 Lokalisierte sphärische Energiefelder . . . . .	5
1.5.2 Lokalisierte nicht-sphärische Energiefelder . . . . .	6
1.5.3 Ausgedehnte homogene Energiefelder . . . . .	6
1.6 Skalenhierarchie und Energie-Primat . . . . .	6
1.6.1 Fundamentale vs. Referenzskalen . . . . .	6
1.6.2 Numerische Beispiele mit Planck-Referenz . . . . .	7
1.7 Physikalische Implikationen . . . . .	7
1.7.1 Zeit-Energie als komplementäre Aspekte . . . . .	7
1.7.2 Brücke zur Allgemeinen Relativitätstheorie . . . . .	7
1.7.3 Modifizierte Quantenmechanik . . . . .	8
1.8 Experimentelle Konsequenzen . . . . .	8
1.8.1 Energie-skalenabhängige Effekte . . . . .	8
1.8.2 Universelle Energiebeziehungen . . . . .	8
<b>2 Die revolutionäre Vereinfachung der Lagrange-Mechanik</b>	<b>9</b>
2.1 Von Standardmodell-Komplexität zu T0-Eleganz . . . . .	9
2.1.1 Die universelle T0-Lagrange-Dichte . . . . .	9
2.1.2 Der Energiefeld-Kopplungsparameter . . . . .	9
2.2 Die T0-Zeitskala und Dimensionsanalyse . . . . .	10
2.2.1 Die fundamentale T0-Zeitskala . . . . .	10
2.2.2 Das intrinsische Zeitfeld . . . . .	10
2.2.3 Zeit-Energie-Dualität . . . . .	10
2.3 Die Feldgleichung . . . . .	10
2.4 Die universelle Wellengleichung . . . . .	11

2.4.1	Herleitung aus der Zeit-Energie-Dualität . . . . .	11
2.5	Behandlung von Antiteilchen . . . . .	11
2.6	Kopplungskonstanten und Symmetrien . . . . .	11
2.6.1	Die universelle Kopplungskonstante . . . . .	11
2.7	Verbindung zur Quantenmechanik . . . . .	12
2.7.1	Die modifizierte Schrödinger-Gleichung . . . . .	12
2.7.2	Wellenfunktion als Energiefeld-Anregung . . . . .	12
2.8	Renormierung und Quantenkorrekturen . . . . .	12
2.8.1	Natürliche Cutoff-Skala . . . . .	12
2.8.2	Schleifenkorrekturen . . . . .	12
2.9	Experimentelle Vorhersagen . . . . .	12
2.9.1	Modifizierte Dispersionsrelationen . . . . .	12
2.9.2	Zeitfeld-Detektion . . . . .	13
2.10	Fazit: Die Eleganz der Vereinfachung . . . . .	13
<b>3</b>	<b>Die Feldtheorie des universellen Energiefeldes</b>	<b>14</b>
3.1	Reduktion der Standardmodell-Komplexität . . . . .	14
3.1.1	T0-Reduktion zu einem universellen Energiefeld . . . . .	14
3.2	Die universelle Wellengleichung . . . . .	14
3.3	Teilchen-Klassifikation durch Energiemuster . . . . .	15
3.3.1	Lösungsansatz für Teilchen-Anregungen . . . . .	15
3.3.2	Dispersionsrelationen . . . . .	15
3.3.3	Teilchen-Klassifikation durch Energiemuster . . . . .	15
3.4	Die universelle Lagrange-Dichte . . . . .	15
3.4.1	Energie-basierte Lagrange-Funktion . . . . .	15
3.5	Energie-basierte gravitationelle Kopplung . . . . .	15
3.5.1	Energie-basierte Einstein-Gleichungen . . . . .	16
3.6	Antiteilchen als negative Energie-Anregungen . . . . .	16
3.7	Emergente Symmetrien . . . . .	16
3.7.1	Symmetriebrechung . . . . .	16
3.8	Experimentelle Vorhersagen . . . . .	16
3.8.1	Universelle Energie-Korrekturen . . . . .	16
3.9	Fazit: Die Einheit der Energie . . . . .	17
<b>4</b>	<b>Charakteristische Energielängen und Feldkonfigurationen</b>	<b>18</b>
4.1	T0-Skalenhierarchie: Sub-Plancksche Energieskalen . . . . .	18
4.1.1	Der energie-basierte Skalenparameter . . . . .	18
4.1.2	Sub-Plancksche Skalenverhältnisse . . . . .	18
4.1.3	Numerische Beispiele sub-Planckscher Skalen . . . . .	18
4.2	Systematische Eliminierung von Masseparametern . . . . .	18
4.2.1	Energie-basierte Neuformulierung . . . . .	19
4.3	Energiefeld-Gleichungsherleitung . . . . .	19
4.4	Die drei fundamentalen Feldgeometrien . . . . .	19
4.4.1	Lokalisierte sphärische Energiefelder . . . . .	19
4.4.2	Lokalisierte nicht-sphärische Energiefelder . . . . .	20
4.4.3	Ausgedehnte homogene Energiefelder . . . . .	20
4.5	Praktische Vereinheitlichung der Geometrien . . . . .	21
4.5.1	Die extreme Skalenhierarchie . . . . .	21
4.5.2	Universelle Anwendbarkeit . . . . .	21

4.6	Physikalische Interpretation und emergente Konzepte . . . . .	21
4.6.1	Energie als fundamentale Realität . . . . .	21
4.6.2	Emergente Massenkonzepte . . . . .	22
4.6.3	Parameterfreie Physik . . . . .	22
4.7	Verbindung zur etablierten Physik . . . . .	22
4.7.1	Schwarzschild-Korrespondenz . . . . .	22
4.7.2	Quantenfeldtheorie-Brücke . . . . .	22
4.8	Fazit: Energie-basierte Vereinheitlichung . . . . .	23
<b>5</b>	<b>Teilchenmassen-Berechnungen aus der Energiefeld-Theorie</b>	<b>24</b>
5.1	Von Energiefeldern zu Teilchenmassen . . . . .	24
5.1.1	Die grundlegende Herausforderung . . . . .	24
5.1.2	Energiebasiertes Massenkonzept . . . . .	24
5.2	Zwei komplementäre Berechnungsmethoden . . . . .	24
5.2.1	Methode 1: Direkte geometrische Resonanz . . . . .	25
5.2.2	Methode 2: Erweiterte Yukawa-Methode . . . . .	25
5.3	Detaillierte Berechnungsbeispiele . . . . .	26
5.3.1	Elektronmassen-Berechnung . . . . .	26
5.3.2	Myon-Massenberechnung . . . . .	26
5.3.3	Tau-Massenberechnung . . . . .	27
5.4	Quark-Massenberechnungen . . . . .	27
5.4.1	Leichte Quarks . . . . .	27
5.4.2	Schwere Quarks . . . . .	28
5.5	Systematische Genauigkeitsanalyse . . . . .	28
5.5.1	Statistische Zusammenfassung . . . . .	28
5.5.2	Parameterfreier Erfolg . . . . .	28
5.6	Zukunftsvorhersagen und Tests . . . . .	29
5.6.1	Neutrino-Massen . . . . .	29
5.6.2	Vierte Generation Vorhersage . . . . .	29
5.7	Fazit: Der geometrische Ursprung der Masse . . . . .	30
<b>6</b>	<b>Das Myon g-2 als entscheidender experimenteller Beweis</b>	<b>31</b>
6.1	Einführung: Die experimentelle Herausforderung . . . . .	31
6.2	Definition des anomalen magnetischen Moments . . . . .	31
6.2.1	Fundamentale Definition . . . . .	31
6.2.2	Physikalische Interpretation . . . . .	31
6.3	Experimentelle Ergebnisse und Standardmodell-Krise . . . . .	32
6.3.1	Fermilab Myon g-2 Experiment . . . . .	32
6.4	T0-Modell-Vorhersage: Parameterfreie Berechnung . . . . .	32
6.4.1	Die geometrische Grundlage . . . . .	32
6.4.2	Numerische Auswertung . . . . .	32
6.5	Vergleich mit Experiment: Ein Triumph der geometrischen Physik . . . . .	33
6.5.1	Direkter Vergleich . . . . .	33
6.5.2	Statistische Analyse . . . . .	33
6.6	Universelles Lepton-Skalierungsgesetz . . . . .	33
6.6.1	Die Energie-Quadrat-Skalierung . . . . .	33
6.6.2	Skalierungs-Verifikation . . . . .	34
6.7	Physikalische Interpretation: Geometrische Kopplung . . . . .	34
6.7.1	Raumzeit-elektrromagnetische Verbindung . . . . .	34

6.7.2	Skalenfaktor-Interpretation . . . . .	34
6.8	Experimentelle Tests und zukünftige Vorhersagen . . . . .	34
6.8.1	Verbesserte Myon g-2 Messungen . . . . .	34
6.8.2	Tau g-2 Experimentalprogramm . . . . .	35
6.8.3	Elektron g-2 Präzisionstest . . . . .	35
6.9	Theoretische Bedeutung . . . . .	35
6.9.1	Parameterfreie Physik . . . . .	35
6.9.2	Geometrische Grundlage des Elektromagnetismus . . . . .	35
<b>7</b>	<b>Jenseits der Wahrscheinlichkeiten: Die deterministische Seele der Quantenwelt</b>	<b>36</b>
7.1	Das Ende des Quanten-Mystizismus . . . . .	36
7.1.1	Standard-Quantenmechanik-Probleme . . . . .	36
7.1.2	T0-Energiefeld-Lösung . . . . .	36
7.2	Die universelle Energiefeld-Gleichung . . . . .	37
7.2.1	Fundamentale Dynamik . . . . .	37
7.2.2	Wellenfunktion als Energiefeld . . . . .	37
7.3	Von Wahrscheinlichkeits-Amplituden zu Energiefeld-Verhältnissen . . . . .	37
7.3.1	Standard vs. T0 Darstellung . . . . .	37
7.3.2	Deterministische Einzelmessungen . . . . .	38
7.4	Deterministische Verschränkung . . . . .	38
7.4.1	Energiefeld-Korrelationen . . . . .	38
7.4.2	Modifizierte Bell-Ungleichungen . . . . .	38
7.5	Die modifizierte Schrödinger-Gleichung . . . . .	38
7.5.1	Zeitfeld-Kopplung . . . . .	38
7.5.2	Deterministische Entwicklung . . . . .	39
7.6	Eliminierung des Messproblems . . . . .	39
7.6.1	Kein Wellenfunktions-Kollaps . . . . .	39
7.6.2	Beobachterunabhängige Realität . . . . .	39
7.7	Deterministisches Quantencomputing . . . . .	39
7.7.1	Qubits als Energiefeld-Konfigurationen . . . . .	39
7.7.2	Quantengatter-Operationen . . . . .	40
7.8	Modifizierte Dirac-Gleichung . . . . .	40
7.8.1	Zeitfeld-Kopplung in relativistischer QM . . . . .	40
7.8.2	Vereinfachung zur universellen Gleichung . . . . .	40
7.9	Experimentelle Vorhersagen und Tests . . . . .	40
7.9.1	Präzisions-Bell-Tests . . . . .	40
7.9.2	Einzelmessungs-Vorhersagen . . . . .	40
7.10	Epistemologische Überlegungen . . . . .	41
7.10.1	Grenzen der deterministischen Interpretation . . . . .	41
7.11	Fazit: Die Wiederherstellung des Determinismus . . . . .	41
<b>8</b>	<b>Der <math>\xi</math>-Fixpunkt: Das Ende der freien Parameter</b>	<b>42</b>
8.1	Die fundamentale Einsicht: $\xi$ als universeller Fixpunkt . . . . .	42
8.1.1	Der Paradigmenwechsel von numerischen Werten zu Verhältnissen . . . . .	42
8.1.2	Die geometrische Grundlage . . . . .	42
8.2	Energieskalenhierarchie und universelle Konstanten . . . . .	43
8.2.1	Der universelle Skalenverbinder . . . . .	43
8.2.2	Natürliche Skalenbeziehungen . . . . .	43

8.3	Eliminierung freier Parameter . . . . .	43
8.3.1	Die Parameter-Zähl-Revolution . . . . .	43
8.3.2	Universelle Parameter-Beziehungen . . . . .	44
8.4	Die universelle Energiefeld-Gleichung . . . . .	44
8.4.1	Vollständige energie-basierte Formulierung . . . . .	44
8.4.2	Parameterfreie Lagrange-Funktion . . . . .	44
8.5	Experimentelle Verifikationsmatrix . . . . .	44
8.5.1	Parameterfreie Vorhersagen . . . . .	44
8.6	Das Ende der empirischen Physik . . . . .	45
8.6.1	Von Messung zu Berechnung . . . . .	45
8.6.2	Das geometrische Universum . . . . .	45
8.7	Philosophische Implikationen . . . . .	45
8.7.1	Die Rückkehr zur pythagoreischen Physik . . . . .	45
8.7.2	Die Einheit des physikalischen Gesetzes . . . . .	46
8.8	Fazit: Der Fixpunkt der Realität . . . . .	46
<b>9</b>	<b>Die Vereinfachung der Dirac-Gleichung</b>	<b>47</b>
9.1	Die Komplexität des Standard-Dirac-Formalismus . . . . .	47
9.1.1	Die traditionelle $4 \times 4$ -Matrix-Struktur . . . . .	47
9.1.2	Die Last der mathematischen Komplexität . . . . .	47
9.2	Der T0-Energiefeld-Ansatz . . . . .	47
9.2.1	Teilchen als Energiefeld-Anregungen . . . . .	47
9.2.2	Energiefeld-Normierung . . . . .	48
9.2.3	Teilchen-Klassifikation nach Energieinhalt . . . . .	48
9.3	Spin aus Feldrotation . . . . .	48
9.3.1	Geometrischer Ursprung des Spins . . . . .	48
9.3.2	Spin-Klassifikation nach Rotationsmustern . . . . .	48
9.4	Warum $4 \times 4$ -Matrizen unnötig sind . . . . .	49
9.4.1	Informationsgehalt-Analyse . . . . .	49
9.5	Universelle Feldgleichungen . . . . .	49
9.5.1	Einzige Gleichung für alle Teilchen . . . . .	49
9.5.2	Antiteilchen-Vereinheitlichung . . . . .	49
9.6	Experimentelle Vorhersagen . . . . .	49
9.6.1	Magnetisches Moment-Vorhersagen . . . . .	49
9.6.2	Wirkungsquerschnitt-Modifikationen . . . . .	50
9.7	Fazit: Geometrische Vereinfachung . . . . .	50
<b>10</b>	<b>Geometrische Grundlagen und 3D-Raum-Verbindungen</b>	<b>51</b>
10.1	Die fundamentale geometrische Konstante . . . . .	51
10.1.1	Der exakte Wert: $\xi = 4/3 \times 10^{-4}$ . . . . .	51
10.1.2	Zerlegung der geometrischen Konstante . . . . .	51
10.2	Dreidimensionale Raumgeometrie . . . . .	51
10.2.1	Der universelle Kugelvolumenfaktor . . . . .	51
10.3	Energieskalengrundlagen und Anwendungen . . . . .	52
10.3.1	Labor-Skalen-Anwendungen . . . . .	52
10.4	Experimentelle Verifikation und Validierung . . . . .	52
10.4.1	Direkt verifiziert: Laborskala . . . . .	52
10.5	Skalenabhängige Parameter-Beziehungen . . . . .	52
10.5.1	Hierarchie physikalischer Skalen . . . . .	52

10.5.2 Vereinheitlichtes geometrisches Prinzip . . . . .	53
10.6 Mathematische Konsistenz und Verifikation . . . . .	53
10.6.1 Vollständige Dimensionsanalyse . . . . .	53
10.7 Fazit und zukünftige Richtungen . . . . .	53
10.7.1 Geometrisches Framework . . . . .	53
10.7.2 Experimentelle Zugänglichkeit . . . . .	54
<b>11 Fazit: Ein neues Physik-Paradigma</b>	<b>55</b>
11.1 Die Transformation . . . . .	55
11.1.1 Von Komplexität zu fundamentaler Einfachheit . . . . .	55
11.1.2 Die Parameter-Eliminierungs-Revolution . . . . .	55
11.2 Experimentelle Validierung . . . . .	56
11.2.1 Der Triumph des anomalen magnetischen Moments des Myons . . . . .	56
11.2.2 Universelle Lepton-Vorhersagen . . . . .	56
11.3 Theoretische Errungenschaften . . . . .	56
11.3.1 Universelle Feld-Vereinheitlichung . . . . .	56
11.3.2 Geometrische Grundlage . . . . .	57
11.3.3 Quantenmechanik-Vereinfachung . . . . .	57
11.4 Philosophische Implikationen . . . . .	57
11.4.1 Die Rückkehr zur pythagoreischen Physik . . . . .	57
11.4.2 Das Ende des Reduktionismus . . . . .	58
11.4.3 Beobachterunabhängige Realität . . . . .	58
11.5 Epistemologische Überlegungen . . . . .	59
11.5.1 Die Grenzen theoretischen Wissens . . . . .	59
11.5.2 Empirische Unterscheidbarkeit . . . . .	59
11.6 Das revolutionäre Paradigma . . . . .	59
11.6.1 Paradigmenwechsel-Charakteristika . . . . .	59
11.7 Die ultimative Vereinfachung . . . . .	60
11.7.1 Die fundamentale Gleichung der Realität . . . . .	60
11.7.2 Die Hierarchie der physikalischen Realität . . . . .	61
11.7.3 Einsteins Traum realisiert . . . . .	61
11.8 Kritische Korrektur: Feinstrukturkonstante in natürlichen Einheiten . . . . .	61
11.8.1 Fundamentaler Unterschied: SI vs. natürliche Einheiten . . . . .	61
11.8.2 T0-Modell-Kopplungskonstanten . . . . .	62
11.9 Finale Synthese . . . . .	62
11.9.1 Das vollständige T0-Framework . . . . .	62
11.9.2 Experimentelle Validierungs-Zusammenfassung . . . . .	63
11.9.3 Das neue Paradigma . . . . .	63
11.10 Fazit: Das geometrische Universum . . . . .	63
<b>A Vollständige Symbol-Referenz</b>	<b>64</b>
A.1 Primäre Symbole . . . . .	64
A.2 Natürliche Einheiten-Konvention . . . . .	64
A.3 Schlüssel-Beziehungen . . . . .	64
A.4 Experimentelle Werte . . . . .	65
A.5 Quellen-Referenz . . . . .	65

# Kapitel 1

## Die Zeit-Energie-Dualität als fundamentales Prinzip

### 1.1 Mathematische Grundlagen

#### 1.1.1 Die fundamentale Dualitätsbeziehung

Das Herzstück des T0-Modells ist die Zeit-Energie-Dualität, ausgedrückt in der fundamentalen Beziehung:

$$T(x, t) \cdot E(x, t) = 1 \quad (1.1)$$

Diese Beziehung ist nicht nur eine mathematische Formalität, sondern spiegelt eine tiefe physikalische Verbindung wider: Zeit und Energie können als komplementäre Manifestationen derselben zugrundeliegenden Realität verstanden werden.

**Dimensionsanalyse:** In natürlichen Einheiten, wo (*nat. Einheiten*), haben wir:

$$[T(x, t)] = [E^{-1}] \quad (\text{Zeitdimension}) \quad (1.2)$$

$$[E(x, t)] = [E] \quad (\text{Energiedimension}) \quad (1.3)$$

$$[T(x, t) \cdot E(x, t)] = [E^{-1}] \cdot [E] = [1] \quad \checkmark \quad (1.4)$$

Diese Dimensionskonsistenz bestätigt, dass die Dualitätsbeziehung mathematisch wohldefiniert im natürlichen Einheitensystem ist.

#### 1.1.2 Das intrinsische Zeitfeld mit Planck-Referenz

Um diese Dualität zu verstehen, betrachten wir das intrinsische Zeitfeld, definiert durch:

$$T(x, t) = \frac{1}{\max(E(x, t), \omega)} \quad (1.5)$$

wobei  $\omega$  die Photonen-Energie darstellt.

**Dimensionsverifikation:** Die max-Funktion wählt die relevante Energieskala:

$$[\max(E(x, t), \omega)] = [E] \quad (1.6)$$

$$\left[ \frac{1}{\max(E(x, t), \omega)} \right] = [E^{-1}] = [T] \quad \checkmark \quad (1.7)$$

### 1.1.3 Feldgleichung für das Energiefeld

Das intrinsische Zeitfeld kann als physikalische Größe verstanden werden, die der Feldgleichung gehorcht:

$$\nabla^2 E(x, t) = 4\pi G \rho(x, t) \cdot E(x, t) \quad (1.8)$$

**Dimensionsanalyse der Feldgleichung:**

$$[\nabla^2 E(x, t)] = [E^2] \cdot [E] = [E^3] \quad (1.9)$$

$$[4\pi G \rho(x, t) \cdot E(x, t)] = [E^{-2}] \cdot [E^4] \cdot [E] = [E^3] \quad \checkmark \quad (1.10)$$

Diese Gleichung ähnelt der Poisson-Gleichung der Gravitationstheorie, erweitert sie jedoch zu einer dynamischen Beschreibung des Energiefeldes.

## 1.2 Planck-Referenzierte Skalenhierarchie

### 1.2.1 Die Planck-Skala als Referenz

Im T0-Modell verwenden wir die etablierte Planck-Länge als unsere fundamentale Referenzskala:

$$\ell_P = \sqrt{G} = 1 \quad (\text{in natürlichen Einheiten}) \quad (1.11)$$

**Physikalische Bedeutung:** Die Planck-Länge repräsentiert die charakteristische Skala quantengravitationeller Effekte und dient als natürliche Längeneinheit in Theorien, die Quantenmechanik und Allgemeine Relativitätstheorie kombinieren.

**Dimensionskonsistenz:**

$$[\ell_P] = [\sqrt{G}] = [E^{-2}]^{1/2} = [E^{-1}] = [L] \quad \checkmark \quad (1.12)$$

### 1.2.2 T0-charakteristische Skalen als sub-Planck-Phänomene

Das T0-Modell führt charakteristische Skalen ein, die auf sub-Planck-Distanzen operieren:

$$r_0 = 2GE \quad (1.13)$$

**Dimensionsverifikation:**

$$[r_0] = [G][E] = [E^{-2}][E] = [E^{-1}] = [L] \quad \checkmark \quad (1.14)$$

Die entsprechende T0-Zeitskala ist:

$$t_0 = \frac{r_0}{c} = r_0 = 2GE \quad (\text{in natürlichen Einheiten mit } c = 1) \quad (1.15)$$

### 1.2.3 Der Skalenverhältnis-Parameter

Die Beziehung zwischen der Planck-Referenzskala und den T0-charakteristischen Skalen wird durch den dimensionslosen Parameter beschrieben:

$$\xi_{\text{rat}} = \frac{\ell_P}{r_0} = \frac{\sqrt{G}}{2GE} = \frac{1}{2\sqrt{G} \cdot E} \quad (1.16)$$

**Physikalische Interpretation:** Dieser Parameter zeigt an, wie viele T0-charakteristische Längen in die Planck-Referenzlänge hineinpassen. Für typische Teilchenenergien ist  $\xi_{\text{rat}} \gg 1$ , was zeigt, dass T0-Effekte auf Skalen viel kleiner als die Planck-Länge operieren.

**Dimensionsverifikation:**

$$[\xi] = \frac{[\ell_P]}{[r_0]} = \frac{[E^{-1}]}{[E^{-1}]} = [1] \quad \checkmark \quad (1.17)$$

## 1.3 Geometrische Herleitung der charakteristischen Länge

### 1.3.1 Energie-basierte charakteristische Länge

Die Herleitung der charakteristischen Länge veranschaulicht die geometrische Eleganz des T0-Modells. Ausgehend von der Feldgleichung für das Energiefeld betrachten wir eine sphärisch symmetrische Punktquelle mit Energiedichte  $\rho(r) = E_0 \delta^3(\vec{r})$ .

**Schritt 1: Feldgleichung außerhalb der Quelle** Für  $r > 0$  reduziert sich die Feldgleichung zu:

$$\nabla^2 E = 0 \quad (1.18)$$

**Schritt 2: Allgemeine Lösung** Die allgemeine Lösung in Kugelkoordinaten ist:

$$E(r) = A + \frac{B}{r} \quad (1.19)$$

**Schritt 3: Randbedingungen**

1. **Asymptotische Bedingung:**  $E(r \rightarrow \infty) = E_0$  ergibt  $A = E_0$
2. **Singularitätsstruktur:** Der Koeffizient  $B$  wird durch den Quellterm bestimmt

**Schritt 4: Integration des Quellterms** Der Quellterm trägt bei:

$$\int_0^\infty 4\pi r^2 \rho(r) E(r) dr = 4\pi \int_0^\infty r^2 E_0 \delta^3(\vec{r}) E(r) dr = 4\pi E_0 E(0) \quad (1.20)$$

**Schritt 5: Entstehung der charakteristischen Länge** Die Konsistenzbedingung führt zu:

$$B = -2GE_0^2 \quad (1.21)$$

Dies ergibt die charakteristische Länge:

$$r_0 = 2GE_0 \quad (1.22)$$

### 1.3.2 Vollständige Energiefeld-Lösung

Die resultierende Lösung lautet:

$$E(r) = E_0 \left( 1 - \frac{r_0}{r} \right) = E_0 \left( 1 - \frac{2GE_0}{r} \right) \quad (1.23)$$

Daraus wird das Zeitfeld:

$$T(r) = \frac{1}{E(r)} = \frac{1}{E_0 \left(1 - \frac{r_0}{r}\right)} = \frac{T_0}{1 - \beta} \quad (1.24)$$

wobei  $\beta = \frac{r_0}{r} = \frac{2GE_0}{r}$  der fundamentale dimensionslose Parameter ist und  $T_0 = 1/E_0$ .

**Dimensionsverifikation:**

$$[\beta] = \frac{[L]}{[L]} = [1] \quad \checkmark \quad (1.25)$$

$$[T_0] = \frac{1}{[E]} = [E^{-1}] = [T] \quad \checkmark \quad (1.26)$$

## 1.4 Der universelle geometrische Parameter

### 1.4.1 Die exakte geometrische Konstante

Das T0-Modell ist durch den exakten geometrischen Parameter charakterisiert:

$$\boxed{\xi_{\text{geom}} = \frac{4}{3} \times 10^{-4} = 1,333\dots \times 10^{-4}} \quad (1.27)$$

**Geometrischer Ursprung:** Dieser Parameter entsteht aus der fundamentalen dreidimensionalen Raumgeometrie. Der Faktor  $4/3$  ist der universelle dreidimensionale Raumgeometriefaktor, der in der Kugelvolumenformel erscheint:

$$V_{\text{Kugel}} = \frac{4\pi}{3} r^3 \quad (1.28)$$

**Physikalische Interpretation:** Der geometrische Parameter charakterisiert, wie Zeitfelder an die dreidimensionale Raumstruktur koppeln. Der Faktor  $10^{-4}$  repräsentiert das Energieskalenverhältnis, das Quanten- und Gravitationsdomänen verbindet.

## 1.5 Drei fundamentale Feldgeometrien

### 1.5.1 Lokalisierte sphärische Energiefelder

Das T0-Modell erkennt drei verschiedene Feldgeometrien für verschiedene physikalische Situationen. Lokalisierte sphärische Felder beschreiben Teilchen und begrenzte Systeme mit sphärischer Symmetrie.

**Parameter für sphärische Geometrie:**

$$\xi = \frac{\ell_P}{r_0} = \frac{1}{2\sqrt{G} \cdot E} \quad (1.29)$$

$$\beta = \frac{r_0}{r} = \frac{2GE}{r} \quad (1.30)$$

**Feldbeziehungen:**

$$T(r) = T_0 \left( \frac{1}{1 - \beta} \right) \quad (1.31)$$

$$E(r) = E_0(1 - \beta) \quad (1.32)$$

**Feldgleichung:**  $\nabla^2 E = 4\pi G\rho E$

**Physikalische Beispiele:** Teilchen, Atome, Kerne, lokalisierte Feldanregungen

### 1.5.2 Lokalisierte nicht-sphärische Energiefelder

Für komplexere Systeme ohne sphärische Symmetrie werden tensorielle Verallgemeinerungen notwendig.

**Tensorielle Parameter:**

$$\beta_{ij} = \frac{r_{0,ij}}{r} \quad \text{und} \quad \xi_{ij} = \frac{\ell_P}{r_{0,ij}} \quad (1.33)$$

wobei  $r_{0,ij} = 2G \cdot I_{ij}$  und  $I_{ij}$  der Energiemoment-Tensor ist.

**Dimensionsanalyse:**

$$[I_{ij}] = [E] \quad (\text{Energietensor}) \quad (1.34)$$

$$[r_{0,ij}] = [G][E] = [E^{-2}][E] = [E^{-1}] = [L] \quad \checkmark \quad (1.35)$$

$$[\beta_{ij}] = \frac{[L]}{[L]} = [1] \quad \checkmark \quad (1.36)$$

**Physikalische Beispiele:** Molekularsysteme, Kristallstrukturen, anisotrope Feldkonfigurationen

### 1.5.3 Ausgedehnte homogene Energiefelder

Für Systeme mit ausgedehnter räumlicher Verteilung wird die Feldgleichung zu:

$$\nabla^2 E = 4\pi G \rho_0 E + \Lambda_t E \quad (1.37)$$

mit einem Feldterm  $\Lambda_t = -4\pi G \rho_0$ .

**Effektive Parameter:**

$$\xi_{\text{eff}} = \frac{\ell_P}{r_{0,\text{eff}}} = \frac{1}{\sqrt{G \cdot E}} = \frac{\xi}{2} \quad (1.38)$$

Dies repräsentiert einen natürlichen Abschirmungseffekt in ausgedehnten Geometrien.

**Physikalische Beispiele:** Plasmakonfigurationen, ausgedehnte Feldverteilungen, kollektive Anregungen

## 1.6 Skalenhierarchie und Energie-Primat

### 1.6.1 Fundamentale vs. Referenzskalen

Das T0-Modell etabliert eine klare Hierarchie mit der Planck-Skala als Referenz:

**Planck-Referenzskalen:**

$$\ell_P = \sqrt{G} = 1 \quad (\text{Quantengravitationsskala}) \quad (1.39)$$

$$t_P = \sqrt{G} = 1 \quad (\text{Referenzzeit}) \quad (1.40)$$

$$E_P = 1 \quad (\text{Referenzenergie}) \quad (1.41)$$

**T0-charakteristische Skalen:**

$$r_{0,\text{Elektron}} = 2G E_e \quad (\text{Elektronenskala}) \quad (1.42)$$

$$r_{0,\text{Proton}} = 2G E_p \quad (\text{KernSkala}) \quad (1.43)$$

$$r_{0,\text{Planck}} = 2G \cdot E_P = 2\ell_P \quad (\text{Planck-Energieskala}) \quad (1.44)$$

**Skalenverhältnisse:**

$$\xi_e = \frac{\ell_P}{r_{0,\text{Elektron}}} = \frac{1}{2GE_e} \quad (1.45)$$

$$\xi_p = \frac{\ell_P}{r_{0,\text{Proton}}} = \frac{1}{2GE_p} \quad (1.46)$$

## 1.6.2 Numerische Beispiele mit Planck-Referenz

Teilchen	Energie	$r_0$ (in $\ell_P$ -Einheiten)	$\xi = \ell_P/r_0$
Elektron	$E_e = 0,511 \text{ MeV}$	$r_{0,e} = 1,02 \times 10^{-3} \ell_P$	$9,8 \times 10^2$
Myon	$E_\mu = 105,658 \text{ MeV}$	$r_{0,\mu} = 2,1 \times 10^{-1} \ell_P$	4,7
Proton	$E_p = 938 \text{ MeV}$	$r_{0,p} = 1,9 \ell_P$	0,53
Planck	$E_P = 1,22 \times 10^{19} \text{ GeV}$	$r_{0,P} = 2 \ell_P$	0,5

Tabelle 1.1: T0-charakteristische Längen in Planck-Einheiten

## 1.7 Physikalische Implikationen

### 1.7.1 Zeit-Energie als komplementäre Aspekte

Die Zeit-Energie-Dualität  $T(x, t) \cdot E(x, t) = 1$  offenbart, dass das, was wir traditionell Zeit und Energie nennen, komplementäre Aspekte einer einzigen zugrundeliegenden Feldkonfiguration sind. Dies hat tiefgreifende Implikationen:

- **Zeitliche Variationen** werden äquivalent zu **Energieumverteilungen**
- **Energiekonzentrationen** entsprechen **Zeitfelddepressionen**
- **Energieerhaltung** sichert **Raumzeit-Konsistenz**

**Mathematischer Ausdruck:**

$$\frac{\partial T}{\partial t} = -\frac{1}{E^2} \frac{\partial E}{\partial t} \quad (1.47)$$

### 1.7.2 Brücke zur Allgemeinen Relativitätstheorie

Das T0-Modell stellt eine natürliche Brücke zur Allgemeinen Relativitätstheorie durch die konforme Kopplung bereit:

$$g_{\mu\nu} \rightarrow \Omega^2(T) g_{\mu\nu} \quad \text{mit} \quad \Omega(T) = \frac{T_0}{T} \quad (1.48)$$

Diese konforme Transformation verbindet das intrinsische Zeitfeld mit der Raumzeit-Geometrie.

### 1.7.3 Modifizierte Quantenmechanik

Die Anwesenheit des Zeitfeldes modifiziert die Schrödinger-Gleichung:

$$i\hbar \frac{\partial \Psi}{\partial t} + i\Psi \left[ \frac{\partial T_{\text{field}}}{\partial t} + \vec{v} \cdot \nabla T_{\text{field}} \right] = \hat{H}\Psi \quad (1.49)$$

Diese Gleichung zeigt, wie die Quantenmechanik durch Zeitfeld-Dynamik modifiziert wird.

## 1.8 Experimentelle Konsequenzen

### 1.8.1 Energie-skalenabhängige Effekte

Die energie-basierte Formulierung mit Planck-Referenz sagt spezifische experimentelle Signaturen vorher:

**Auf Elektronenenergieskala** ( $r \sim r_{0,e} = 1,02 \times 10^{-3}\ell_P$ ):

- Modifizierte elektromagnetische Kopplung
- Anomale magnetische Moment-Korrekturen
- Präzisionsspektroskopie-Abweichungen

**Auf Kernenergieskala** ( $r \sim r_{0,p} = 1,9\ell_P$ ):

- Kernkraft-Modifikationen
- Hadronenspektrum-Korrekturen
- Quark-Confinement-Skalen-Effekte

### 1.8.2 Universelle Energiebeziehungen

Das T0-Modell sagt universelle Beziehungen zwischen verschiedenen Energieskalen vorher:

$$\frac{E_2}{E_1} = \frac{r_{0,1}}{r_{0,2}} = \frac{\xi_2}{\xi_1} \quad (1.50)$$

Diese Beziehungen können experimentell über verschiedene Energiedomänen getestet werden.

# Kapitel 2

## Die revolutionäre Vereinfachung der Lagrange-Mechanik

### 2.1 Von Standardmodell-Komplexität zu T0-Eleganz

Das Standardmodell der Teilchenphysik umfasst über 20 verschiedene Felder mit ihren eigenen Lagrange-Dichten, Kopplungskonstanten und Symmetrieeigenschaften. Das T0-Modell bietet eine radikale Vereinfachung.

#### 2.1.1 Die universelle T0-Lagrange-Dichte

Das T0-Modell schlägt vor, diese gesamte Komplexität durch eine einzige, elegante Lagrange-Dichte zu beschreiben:

$$\boxed{\mathcal{L} = \varepsilon \cdot (\partial\delta E)^2} \quad (2.1)$$

Dies beschreibt nicht nur ein einzelnes Teilchen oder eine Wechselwirkung, sondern bietet ein vereinheitlichtes mathematisches Framework für alle physikalischen Phänomene. Das  $\delta E(x, t)$ -Feld wird als das universelle Energiefeld verstanden, aus dem alle Teilchen als lokalisierte Anregungsmuster hervorgehen.

#### 2.1.2 Der Energiefeld-Kopplungsparameter

Der Parameter  $\varepsilon$  ist mit dem universellen Skalenverhältnis verknüpft:

$$\varepsilon = \xi \cdot E^2 \quad (2.2)$$

wobei  $\xi = \frac{\ell_P}{r_0}$  das Skalenverhältnis zwischen Planck-Länge und T0-charakteristischer Länge ist.

**Dimensionsanalyse:**

$$[\xi] = [1] \quad (\text{dimensionslos}) \quad (2.3)$$

$$[E^2] = [E^2] \quad (2.4)$$

$$[\varepsilon] = [1] \cdot [E^2] = [E^2] \quad (2.5)$$

$$[(\partial\delta E)^2] = ([E] \cdot [E])^2 = [E^2] \quad (2.6)$$

$$[\mathcal{L}] = [E^2] \cdot [E^2] = [E^4] \quad \checkmark \quad (2.7)$$

## 2.2 Die T0-Zeitskala und Dimensionsanalyse

### 2.2.1 Die fundamentale T0-Zeitskala

Im Planck-referenzierten T0-System ist die charakteristische Zeitskala:

$$t_0 = \frac{r_0}{c} = 2GE \quad (2.8)$$

In natürlichen Einheiten ( $c = 1$ ) vereinfacht sich dies zu:

$$t_0 = r_0 = 2GE \quad (2.9)$$

**Dimensionsverifikation:**

$$[t_0] = \frac{[r_0]}{[c]} = \frac{[E^{-1}]}{[1]} = [E^{-1}] = [T] \quad \checkmark \quad (2.10)$$

$$[2GE] = [G][E] = [E^{-2}][E] = [E^{-1}] = [T] \quad \checkmark \quad (2.11)$$

### 2.2.2 Das intrinsische Zeitfeld

Das intrinsische Zeitfeld wird unter Verwendung der T0-Zeitskala definiert:

$$T_{\text{field}}(x, t) = t_0 \cdot g(E_{\text{norm}}(x, t), \omega_{\text{norm}}) \quad (2.12)$$

wobei:

$$t_0 = 2GE \quad (\text{T0-Zeitskala}) \quad (2.13)$$

$$E_{\text{norm}} = \frac{E(x, t)}{E_{\text{char}}} \quad (\text{normalisierte Energie}) \quad (2.14)$$

$$\omega_{\text{norm}} = \frac{\omega}{E_{\text{char}}} \quad (\text{normalisierte Frequenz}) \quad (2.15)$$

$$g(E_{\text{norm}}, \omega_{\text{norm}}) = \frac{1}{\max(E_{\text{norm}}, \omega_{\text{norm}})} \quad (2.16)$$

### 2.2.3 Zeit-Energie-Dualität

Die fundamentale Zeit-Energie-Dualität im T0-System lautet:

$$T_{\text{field}} \cdot E_{\text{field}} = 1 \quad (2.17)$$

**Dimensionskonsistenz:**

$$[T_{\text{field}} \cdot E_{\text{field}}] = [E^{-1}] \cdot [E] = [1] \quad \checkmark \quad (2.18)$$

## 2.3 Die Feldgleichung

Die Feldgleichung, die aus der universellen Lagrange-Dichte entsteht, ist:

$$\partial^2 \delta E = 0 \quad (2.19)$$

Dies kann explizit als d'Alembert-Gleichung geschrieben werden:

$$\square \delta E = \left( \nabla^2 - \frac{\partial^2}{\partial t^2} \right) \delta E = 0 \quad (2.20)$$

## 2.4 Die universelle Wellengleichung

### 2.4.1 Herleitung aus der Zeit-Energie-Dualität

Aus der fundamentalen T0-Dualität  $T_{\text{field}} \cdot E_{\text{field}} = 1$ :

$$T_{\text{field}}(x, t) = \frac{1}{E_{\text{field}}(x, t)} \quad (2.21)$$

$$\partial_\mu T_{\text{field}} = -\frac{1}{E_{\text{field}}^2} \partial_\mu E_{\text{field}} \quad (2.22)$$

Dies führt zur universellen Wellengleichung:

$$\square E_{\text{field}} = \left( \nabla^2 - \frac{\partial^2}{\partial t^2} \right) E_{\text{field}} = 0 \quad (2.23)$$

Diese Gleichung beschreibt alle Teilchen einheitlich und entsteht natürlich aus der T0-Zeit-Energie-Dualität.

## 2.5 Behandlung von Antiteilchen

Einer der elegantesten Aspekte des T0-Modells ist seine Behandlung von Antiteilchen als negative Anregungen desselben universellen Feldes:

$$\text{Teilchen: } \delta E(x, t) > 0 \quad (2.24)$$

$$\text{Antiteilchen: } \delta E(x, t) < 0 \quad (2.25)$$

Die Quadrierung in der Lagrange-Funktion sorgt für identische Physik:

$$\mathcal{L}[+\delta E] = \varepsilon \cdot (\partial \delta E)^2 \quad (2.26)$$

$$\mathcal{L}[-\delta E] = \varepsilon \cdot (\partial(-\delta E))^2 = \varepsilon \cdot (\partial \delta E)^2 \quad (2.27)$$

## 2.6 Kopplungskonstanten und Symmetrien

### 2.6.1 Die universelle Kopplungskonstante

Im T0-Modell gibt es fundamental nur eine Kopplungskonstante:

$$\xi = \frac{\ell_P}{r_0} = \frac{1}{2\sqrt{G \cdot E}} \quad (2.28)$$

Alle anderen Kopplungskonstanten entstehen als Manifestationen dieses Parameters in verschiedenen Energieregimen.

**Beispiele abgeleiteter Kopplungskonstanten:**

$$\alpha_{\text{fine}} = 1 \quad (\text{Feinstruktur, natürliche Einheiten}) \quad (2.29)$$

$$\alpha_s = \xi^{-1/3} \quad (\text{starke Kopplung}) \quad (2.30)$$

$$\alpha_W = \xi^{1/2} \quad (\text{schwache Kopplung}) \quad (2.31)$$

$$\alpha_G = \xi^2 \quad (\text{gravitationelle Kopplung}) \quad (2.32)$$

## 2.7 Verbindung zur Quantenmechanik

### 2.7.1 Die modifizierte Schrödinger-Gleichung

In Anwesenheit des variierenden Zeitfeldes wird die Schrödinger-Gleichung modifiziert:

$$\boxed{i\hbar T_{\text{field}} \frac{\partial \Psi}{\partial t} + i\hbar \Psi \left[ \frac{\partial T_{\text{field}}}{\partial t} + \vec{v} \cdot \nabla T_{\text{field}} \right] = \hat{H} \Psi} \quad (2.33)$$

Die zusätzlichen Terme beschreiben die Wechselwirkung der Wellenfunktion mit dem variierenden Zeitfeld.

### 2.7.2 Wellenfunktion als Energiefeld-Anregung

Die Wellenfunktion in der Quantenmechanik wird mit Energiefeld-Anregungen identifiziert:

$$\Psi(x, t) = \sqrt{\frac{\delta E(x, t)}{E_0 \cdot V_0}} \cdot e^{i\phi(x, t)} \quad (2.34)$$

wobei  $V_0$  ein charakteristisches Volumen ist.

## 2.8 Renormierung und Quantenkorrekturen

### 2.8.1 Natürliche Cutoff-Skala

Das T0-Modell stellt einen natürlichen ultravioletten Cutoff bei der charakteristischen Energieskala  $E$  bereit:

$$\Lambda_{\text{cutoff}} = \frac{1}{r_0} = \frac{1}{2GE} \quad (2.35)$$

Dies eliminiert viele Unendlichkeiten, die die Quantenfeldtheorie im Standardmodell plagen.

### 2.8.2 Schleifenkorrekturen

Quantenkorrekturen höherer Ordnung im T0-Modell nehmen die Form an:

$$\mathcal{L}_{\text{Schleife}} = \xi^2 \cdot f(\partial^2 \delta E, \partial^4 \delta E, \dots) \quad (2.36)$$

Der  $\xi^2$ -Unterdrückungsfaktor stellt sicher, dass Korrekturen perturbativ klein bleiben.

## 2.9 Experimentelle Vorhersagen

### 2.9.1 Modifizierte Dispersionsrelationen

Das T0-Modell sagt modifizierte Dispersionsrelationen vorher:

$$E^2 = p^2 + E_0^2 + \xi \cdot g(T_{\text{field}}(x, t)) \quad (2.37)$$

wobei  $g(T_{\text{field}}(x, t))$  den lokalen Zeitfeld-Beitrag repräsentiert.

### 2.9.2 Zeitfeld-Detektion

Das variierende Zeitfeld sollte durch Präzisionsmessungen detektierbar sein:

$$\Delta\omega = \omega_0 \cdot \frac{\Delta T_{\text{field}}}{T_{0,\text{field}}} \quad (2.38)$$

## 2.10 Fazit: Die Eleganz der Vereinfachung

Das T0-Modell demonstriert, wie die Komplexität der modernen Teilchenphysik auf fundamentale Einfachheit reduziert werden kann. Die universelle Lagrange-Dichte  $\mathcal{L} = \varepsilon \cdot (\partial\delta E)^2$  ersetzt Dutzende von Feldern und Kopplungskonstanten durch eine einzige, elegante Beschreibung.

Diese revolutionäre Vereinfachung eröffnet neue Wege zum Verständnis der Natur und könnte zu einer fundamentalen Neubewertung unserer physikalischen Weltanschauung führen.

# Kapitel 3

## Die Feldtheorie des universellen Energiefeldes

### 3.1 Reduktion der Standardmodell-Komplexität

Das Standardmodell beschreibt die Natur durch multiple Felder mit über 20 fundamentalen Entitäten. Das T0-Modell reduziert diese Komplexität dramatisch, indem es vorschlägt, dass alle Teilchen Anregungen eines einzigen universellen Energiefeldes sind.

#### 3.1.1 T0-Reduktion zu einem universellen Energiefeld

$$E_{\text{field}}(x, t) = \text{universelles Energiefeld} \quad (3.1)$$

Alle bekannten Teilchen werden nur unterschieden durch:

- **Energieskala**  $E$  (charakteristische Energie der Anregung)
- **Oszillationsform** (verschiedene Muster für Fermionen und Bosonen)
- **Phasenbeziehungen** (bestimmen Quantenzahlen)

### 3.2 Die universelle Wellengleichung

Aus der fundamentalen T0-Dualität leiten wir die universelle Wellengleichung ab:

$$\square E_{\text{field}} = \left( \nabla^2 - \frac{\partial^2}{\partial t^2} \right) E_{\text{field}} = 0 \quad (3.2)$$

Dimensionsanalyse:

$$[\nabla^2 E_{\text{field}}] = [E^2] \cdot [E] = [E^3] \quad (3.3)$$

$$\left[ \frac{\partial^2 E_{\text{field}}}{\partial t^2} \right] = \frac{[E]}{[T^2]} = \frac{[E]}{[E^{-2}]} = [E^3] \quad (3.4)$$

$$[\square E_{\text{field}}] = [E^3] - [E^3] = [E^3] \quad \checkmark \quad (3.5)$$

### 3.3 Teilchen-Klassifikation durch Energiemuster

#### 3.3.1 Lösungsansatz für Teilchen-Anregungen

Das universelle Energiefeld unterstützt verschiedene Arten von Anregungen, die verschiedenen Teilchenarten entsprechen:

$$E_{\text{field}}(x, t) = E_0 \sin(\omega t - \vec{k} \cdot \vec{x} + \phi) \quad (3.6)$$

wobei die Phase  $\phi$  und die Beziehung zwischen  $\omega$  und  $|\vec{k}|$  den Teilchentyp bestimmen.

#### 3.3.2 Dispersionsrelationen

Für relativistische Teilchen:

$$\omega^2 = |\vec{k}|^2 + E_0^2 \quad (3.7)$$

#### 3.3.3 Teilchen-Klassifikation durch Energiemuster

Verschiedene Teilchentypen entsprechen verschiedenen Energiefeld-Mustern:

**Fermionen (Spin-1/2):**

$$E_{\text{field}}^{\text{Fermion}} = E_{\text{char}} \sin(\omega t - \vec{k} \cdot \vec{x}) \cdot \xi_{\text{Spin}} \quad (3.8)$$

**Bosonen (Spin-1):**

$$E_{\text{field}}^{\text{Boson}} = E_{\text{char}} \cos(\omega t - \vec{k} \cdot \vec{x}) \cdot \epsilon_{\text{pol}} \quad (3.9)$$

**Skalare (Spin-0):**

$$E_{\text{field}}^{\text{Skalar}} = E_{\text{char}} \cos(\omega t - \vec{k} \cdot \vec{x}) \quad (3.10)$$

### 3.4 Die universelle Lagrange-Dichte

#### 3.4.1 Energie-basierte Lagrange-Funktion

Die universelle Lagrange-Dichte vereinheitlicht alle physikalischen Wechselwirkungen:

$$\mathcal{L} = \varepsilon \cdot (\partial \delta E)^2$$

(3.11)

Mit der Energiefeld-Kopplungskonstante:

$$\varepsilon = \frac{1}{\xi \cdot 4\pi^2} \quad (3.12)$$

wobei  $\xi$  der Skalenverhältnis-Parameter ist.

### 3.5 Energie-basierte gravitationelle Kopplung

In der energie-basierten T0-Formulierung koppelt die Gravitationskonstante  $G$  die Energie-dichte direkt an die Raumzeit-Krümmung statt an die Masse.

### 3.5.1 Energie-basierte Einstein-Gleichungen

Die Einstein-Gleichungen im T0-Framework werden zu:

$$R_{\mu\nu} - \frac{1}{2}g_{\mu\nu}R = 8\pi G \cdot T_{\mu\nu}^{\text{Energie}} \quad (3.13)$$

wobei der Energie-Impuls-Tensor ist:

$$T_{\mu\nu}^{\text{Energie}} = \frac{\partial \mathcal{L}}{\partial(\partial^\mu E_{\text{field}})} \partial_\nu E_{\text{field}} - g_{\mu\nu} \mathcal{L} \quad (3.14)$$

## 3.6 Antiteilchen als negative Energie-Anregungen

Das T0-Modell behandelt Teilchen und Antiteilchen als positive und negative Anregungen desselben Feldes:

$$\text{Teilchen: } \delta E(x, t) > 0 \quad (3.15)$$

$$\text{Antiteilchen: } \delta E(x, t) < 0 \quad (3.16)$$

Dies eliminiert die Notwendigkeit der Loch-Theorie und liefert eine natürliche Erklärung für Teilchen-Antiteilchen-Symmetrie.

## 3.7 Emergente Symmetrien

Die Eichsymmetrien des Standardmodells entstehen aus der Energiefeld-Struktur auf verschiedenen Skalen:

- $SU(3)_C$ : Farbsymmetrie aus hochenergetischen Anregungen
- $SU(2)_L$ : Schwacher Isospin aus elektroschwacher Vereinigungsskala
- $U(1)_Y$ : Hyperladung aus elektromagnetischer Struktur

### 3.7.1 Symmetriebrechung

Symmetriebrechung tritt natürlich durch Energieskalenvariationen auf:

$$\langle E_{\text{field}} \rangle = E_0 + \delta E_{\text{Fluktuation}} \quad (3.17)$$

Der Vakuum-Erwartungswert  $E_0$  bricht die Symmetrien bei niedrigen Energien.

## 3.8 Experimentelle Vorhersagen

### 3.8.1 Universelle Energie-Korrekturen

Das T0-Modell sagt universelle Korrekturen zu allen Prozessen vorher:

$$\Delta E^{(T0)} = \xi \cdot E_{\text{charakteristisch}} \quad (3.18)$$

wobei  $\xi = \frac{4}{3} \times 10^{-4}$  der geometrische Parameter ist.

### 3.9 Fazit: Die Einheit der Energie

Das T0-Modell demonstriert, dass die gesamte Teilchenphysik als Manifestationen eines einzigen universellen Energiefeldes verstanden werden kann. Die Reduktion von über 20 Feldern zu einer vereinheitlichten Beschreibung repräsentiert eine fundamentale Vereinfachung, die alle experimentellen Vorhersagen bewahrt und gleichzeitig neue testbare Konsequenzen liefert.

# Kapitel 4

## Charakteristische Energielängen und Feldkonfigurationen

### 4.1 T0-Skalenhierarchie: Sub-Plancksche Energieskalen

Eine fundamentale Entdeckung des T0-Modells ist, dass seine charakteristischen Längen  $r_0$  auf Skalen viel kleiner als die Planck-Länge  $\ell_P = \sqrt{G}$  operieren.

#### 4.1.1 Der energie-basierte Skalenparameter

Im T0-energie-basierten Modell werden traditionelle "MasseParameter durch "charakteristische EnergieParameter ersetzt:

$$r_0 = 2GE \quad (4.1)$$

Dimensionsanalyse:

$$[r_0] = [G][E] = [E^{-2}][E] = [E^{-1}] = [L] \quad \checkmark \quad (4.2)$$

Die Planck-Länge dient als Referenzskala:

$$\ell_P = \sqrt{G} = 1 \quad (\text{numerisch in natürlichen Einheiten}) \quad (4.3)$$

#### 4.1.2 Sub-Plancksche Skalenverhältnisse

Das Verhältnis zwischen Planck- und T0-Skalen definiert den fundamentalen Parameter:

$$\xi = \frac{\ell_P}{r_0} = \frac{\sqrt{G}}{2GE} = \frac{1}{2\sqrt{G} \cdot E} \quad (4.4)$$

#### 4.1.3 Numerische Beispiele sub-Planckscher Skalen

### 4.2 Systematische Eliminierung von Masseparametern

Traditionelle Formulierungen schienen von spezifischen Teilchenmassen abzuhängen. Jedoch zeigt sorgfältige Analyse, dass Masseparameter systematisch eliminiert werden können.

Teilchen	Energie (GeV)	$r_0/\ell_P$	$\xi = \ell_P/r_0$
Elektron	$E_e = 0,511 \times 10^{-3}$	$1,02 \times 10^{-3}$	$9,8 \times 10^2$
Myon	$E_\mu = 0,106$	$2,12 \times 10^{-1}$	$4,7 \times 10^0$
Proton	$E_p = 0,938$	$1,88 \times 10^0$	$5,3 \times 10^{-1}$
Higgs	$E_h = 125$	$2,50 \times 10^2$	$4,0 \times 10^{-3}$
Top-Quark	$E_t = 173$	$3,46 \times 10^2$	$2,9 \times 10^{-3}$

Tabelle 4.1: T0-charakteristische Längen als sub-Plancksche Skalen

### 4.2.1 Energie-basierte Neuformulierung

Unter Verwendung der korrigierten T0-Zeitskala:

$$\boxed{T_{\text{field}}(x, t) = t_0 \cdot g(E_{\text{norm}}(x, t), \omega_{\text{norm}})} \quad (4.5)$$

wobei:

$$t_0 = 2GE \quad (\text{T0-Zeitskala}) \quad (4.6)$$

$$E_{\text{norm}} = \frac{E(x, t)}{E_0} \quad (\text{normalisierte Energie}) \quad (4.7)$$

$$g(E_{\text{norm}}, \omega_{\text{norm}}) = \frac{1}{\max(E_{\text{norm}}, \omega_{\text{norm}})} \quad (4.8)$$

Masse wird vollständig eliminiert, nur Energieskalen und dimensionslose Verhältnisse bleiben.

## 4.3 Energiefeld-Gleichungsherleitung

Die fundamentale Feldgleichung des T0-Modells lautet:

$$\nabla^2 E(r) = 4\pi G \rho_E(r) \cdot E(r) \quad (4.9)$$

Für eine Punkt-Energiequelle mit Dichte  $\rho_E(r) = E_0 \cdot \delta^3(\vec{r})$  wird dies zu einem Randwertproblem mit Lösung:

$$\boxed{E(r) = E_0 \left(1 - \frac{r_0}{r}\right) = E_0 \left(1 - \frac{2GE_0}{r}\right)} \quad (4.10)$$

## 4.4 Die drei fundamentalen Feldgeometrien

Das T0-Modell erkennt drei verschiedene Feldgeometrien für verschiedene physikalische Situationen.

### 4.4.1 Lokalisierte sphärische Energiefelder

Diese beschreiben Teilchen und begrenzte Systeme mit sphärischer Symmetrie.

**Charakteristika:**

- Energiedichte  $\rho_E(r) \rightarrow 0$  für  $r \rightarrow \infty$

- Sphärische Symmetrie:  $\rho_E = \rho_E(r)$
- Endliche Gesamtenergie:  $\int \rho_E d^3r < \infty$

**Parameter:**

$$\xi = \frac{\ell_P}{r_0} = \frac{1}{2\sqrt{G} \cdot E} \quad (4.11)$$

$$\beta = \frac{r_0}{r} = \frac{2GE}{r} \quad (4.12)$$

$$T(r) = T_0(1 - \beta)^{-1} \quad (4.13)$$

**Feldgleichung:**  $\nabla^2 E = 4\pi G \rho_E E$

**Physikalische Beispiele:** Teilchen, Atome, Kerne, lokalisierte Anregungen

#### 4.4.2 Lokalisierte nicht-sphärische Energiefelder

Für komplexe Systeme ohne sphärische Symmetrie werden tensorielle Verallgemeinerungen notwendig.

**Multipol-Entwicklung:**

$$T(\vec{r}) = T_0 \left[ 1 - \frac{r_0}{r} + \sum_{l,m} a_{lm} \frac{Y_{lm}(\theta, \phi)}{r^{l+1}} \right] \quad (4.14)$$

**Tensorielle Parameter:**

$$\beta_{ij} = \frac{r_{0ij}}{r} \quad (4.15)$$

$$\xi_{ij} = \frac{\ell_P}{r_{0ij}} = \frac{1}{2\sqrt{G} \cdot I_{ij}} \quad (4.16)$$

wobei  $I_{ij}$  der Energiemoment-Tensor ist.

**Physikalische Beispiele:** Molekularsysteme, Kristallstrukturen, anisotrope Konfigurationen

#### 4.4.3 Ausgedehnte homogene Energiefelder

Für Systeme mit ausgedehnter räumlicher Verteilung:

$$\nabla^2 E = 4\pi G \rho_0 E + \Lambda_t E \quad (4.17)$$

mit einem Feldterm  $\Lambda_t = -4\pi G \rho_0$ .

**Effektive Parameter:**

$$\xi_{\text{eff}} = \frac{\ell_P}{r_{0,\text{eff}}} = \frac{1}{\sqrt{G} \cdot E} = \frac{\xi}{2} \quad (4.18)$$

Dies repräsentiert einen natürlichen Abschirmungseffekt in ausgedehnten Geometrien.

**Physikalische Beispiele:** Plasmakonfigurationen, ausgedehnte Feldverteilungen, kollektive Anregungen

## 4.5 Praktische Vereinheitlichung der Geometrien

Aufgrund der extremen Natur der T0-charakteristischen Skalen tritt eine bemerkenswerte Vereinfachung auf: praktisch alle Rechnungen können mit der einfachsten, lokalisierten sphärischen Geometrie durchgeführt werden.

### 4.5.1 Die extreme Skalenhierarchie

Skalenvergleich:

- T0-Skalen:  $r_0 \sim 10^{-20}$  bis  $10^2 \ell_P$
- Laborskalen:  $r_{\text{lab}} \sim 10^{10}$  bis  $10^{30} \ell_P$
- Verhältnis:  $r_0/r_{\text{lab}} \sim 10^{-50}$  bis  $10^{-8}$

Diese extreme Skalentrennung bedeutet, dass geometrische Unterscheidungen für alle Laborphysik praktisch irrelevant werden.

### 4.5.2 Universelle Anwendbarkeit

Die lokalisierte sphärische Behandlung dominiert von Teilchen- bis Kernphysik-Skalen:

1. **Teilchenphysik:** Natürliche Domäne der sphärischen Näherung
2. **Atomphysik:** Elektronische Wellenfunktionen effektiv sphärisch
3. **Kernphysik:** Zentrale Symmetrie dominiert
4. **Molekularphysik:** Sphärische Näherung gültig für die meisten Rechnungen

Dies erleichtert die Anwendung des Modells erheblich, ohne die theoretische Vollständigkeit zu beeinträchtigen.

## 4.6 Physikalische Interpretation und emergente Konzepte

### 4.6.1 Energie als fundamentale Realität

In der energie-basierten Interpretation:

- Was wir traditionell Masse nennen, entsteht aus charakteristischen Energieskalen
- Alle Masseparameter werden zu charakteristischen Energieparametern:  $E_e$ ,  $E_\mu$ ,  $E_p$ , etc.
- Die Werte (0,511 MeV, 938 MeV, etc.) repräsentieren charakteristische Energien verschiedener Feldanregungsmuster
- Dies sind Energiefeld-Konfigurationen im universellen Feld  $\delta E(x, t)$

### 4.6.2 Emergente Massenkonzepte

Die scheinbare Masse eines Teilchens entsteht aus seiner Energiefeld-Konfiguration:

$$E_{\text{effektiv}} = E_{\text{charakteristisch}} \cdot f(\text{Geometrie, Kopplungen}) \quad (4.19)$$

wobei  $f$  eine dimensionslose Funktion ist, die durch Feldgeometrie und Wechselwirkungsstärken bestimmt wird.

### 4.6.3 Parameterfreie Physik

Die Eliminierung von Masseparametern offenbart T0 als wahrhaft parameterfreie Physik:

- **Vor Eliminierung:**  $\infty$  freie Parameter (einer pro Teilchentyp)
- **Nach Eliminierung:** 0 freie Parameter - nur Energieverhältnisse und geometrische Konstanten
- **Universelle Konstante:**  $\xi = \frac{4}{3} \times 10^{-4}$  (reine Geometrie)

## 4.7 Verbindung zur etablierten Physik

### 4.7.1 Schwarzschild-Korrespondenz

Die charakteristische Länge  $r_0 = 2GE$  entspricht dem Schwarzschild-Radius:

$$r_s = \frac{2GM}{c^2} \xrightarrow{c=1, E=M} r_s = 2GE = r_0 \quad (4.20)$$

Jedoch in der T0-Interpretation:

- $r_0$  operiert auf sub-Planckschen Skalen
- Die kritische Skala der Zeit-Energie-Dualität, nicht gravitationeller Kollaps
- Energie-basiert statt masse-basierte Formulierung
- Verbindet zu Quanten- statt klassischer Physik

### 4.7.2 Quantenfeldtheorie-Brücke

Die verschiedenen Feldgeometrien reproduzieren bekannte Lösungen der Feldtheorie:

#### Lokalisiert sphärisch:

- Klein-Gordon-Lösungen für skalare Felder
- Dirac-Lösungen für fermionische Felder
- Yang-Mills-Lösungen für Eichfelder

#### Nicht-sphärisch:

- Multipol-Entwicklungen in der Atomphysik

- Kristalline Symmetrien in der Festkörperphysik
- Anisotrope Feldkonfigurationen

**Ausgedehnt homogen:**

- Kollektive Feldanregungen
- Phasenübergänge in statistischer Feldtheorie
- Ausgedehnte Plasmakonfigurationen

## 4.8 Fazit: Energie-basierte Vereinheitlichung

Die energie-basierte Formulierung des T0-Modells erreicht bemerkenswerte Vereinheitlichung:

- **Vollständige Masse-Eliminierung:** Alle Parameter werden energie-basiert
- **Geometrische Grundlage:** Charakteristische Längen entstehen aus Feldgleichungen
- **Universelle Skalierbarkeit:** Dasselbe Framework gilt von Teilchen- bis Kernphysik
- **Parameterfreie Theorie:** Nur geometrische Konstante  $\xi = \frac{4}{3} \times 10^{-4}$
- **Praktische Vereinfachung:** Vereinheitlichte Behandlung über alle Laborskalen
- **Sub-Plancksche Operation:** T0-Effekte auf Skalen viel kleiner als Quantengravitation

Dies repräsentiert einen fundamentalen Wandel von teilchen-basierter zu feld-basierter Physik, wo alle Phänomene aus der Dynamik eines einzigen universellen Energiefeldes  $\delta E(x, t)$  entstehen, das im sub-Planckschen Regime operiert.

# Kapitel 5

## Teilchenmassen-Berechnungen aus der Energiefeld-Theorie

### 5.1 Von Energiefeldern zu Teilchenmassen

#### 5.1.1 Die grundlegende Herausforderung

Einer der beeindruckendsten Erfolge des T0-Modells ist seine Fähigkeit, Teilchenmassen aus reinen geometrischen Prinzipien zu berechnen. Während das Standardmodell über 20 freie Parameter zur Beschreibung von Teilchenmassen benötigt, erreicht das T0-Modell dieselbe Präzision mit nur der geometrischen Konstante  $\xi_{\text{geom}} = \frac{4}{3} \times 10^{-4}$ .

#### Massen-Revolution

##### Parameter-Reduktions-Erfolg:

- **Standardmodell:** 20+ freie Massenparameter (willkürlich)
- **T0-Modell:** 0 freie Parameter (geometrisch)
- **Experimentelle Genauigkeit:** < 0,5% Abweichung
- **Theoretische Grundlage:** Dreidimensionale Raumgeometrie

#### 5.1.2 Energiebasiertes Massenkonzept

Im T0-Framework wird enthüllt, dass das, was wir traditionell "Masse" nennen, eine Manifestation charakteristischer Energieskalen von Feldanregungen ist:

$$m_i \rightarrow E_{\text{char},i} \quad (\text{charakteristische Energie von Teilchentyp } i) \quad (5.1)$$

Diese Transformation eliminiert die künstliche Unterscheidung zwischen Masse und Energie und erkennt sie als verschiedene Aspekte derselben fundamentalen Größe.

### 5.2 Zwei komplementäre Berechnungsmethoden

Das T0-Modell bietet zwei mathematisch äquivalente, aber konzeptionell verschiedene Ansätze zur Berechnung von Teilchenmassen:

### 5.2.1 Methode 1: Direkte geometrische Resonanz

**Konzeptionelle Grundlage:** Teilchen als Resonanzen im universellen Energiefeld

Die direkte Methode behandelt Teilchen als charakteristische Resonanzmoden des Energiefeldes  $E(x, t)$ , analog zu stehenden Wellenmustern:

$$\text{Teilchen} = \text{Diskrete Resonanzmoden von } E(x, t)(x, t) \quad (5.2)$$

**Drei-Schritt-Berechnungsprozess:**

**Schritt 1: Geometrische Quantisierung**

$$\xi_i = \xi_0 \cdot f(n_i, l_i, j_i) \quad (5.3)$$

wobei:

$$\xi_0 = \frac{4}{3} \times 10^{-4} \quad (\text{geometrischer Basisparameter}) \quad (5.4)$$

$$n_i, l_i, j_i = \text{Quantenzahlen aus 3D-Wellengleichung} \quad (5.5)$$

$$f(n_i, l_i, j_i) = \text{geometrische Funktion aus räumlichen Harmonischen} \quad (5.6)$$

**Schritt 2: Resonanzfrequenzen**

$$\omega_i = \frac{c^2}{\xi_i \cdot r_{\text{char}}} \quad (5.7)$$

In natürlichen Einheiten ( $c = 1$ ):

$$\omega_i = \frac{1}{\xi_i} \quad (5.8)$$

**Schritt 3: Masse aus Energieerhaltung**

$$E_{\text{char},i} = \hbar \omega_i = \frac{\hbar}{\xi_i} \quad (5.9)$$

In natürlichen Einheiten ( $\hbar = 1$ ):

$$E_{\text{char},i} = \frac{1}{\xi_i}$$

(5.10)

### 5.2.2 Methode 2: Erweiterte Yukawa-Methode

**Konzeptionelle Grundlage:** Brücke zum Standardmodell-Formalismus

Die erweiterte Yukawa-Methode behält die Kompatibilität mit Standardmodell-Berechnungen bei, während sie Yukawa-Kopplungen geometrisch bestimmt statt empirisch angepasst macht:

$$E_{\text{char},i} = y_i \cdot v \quad (5.11)$$

wobei  $v = 246 \text{ GeV}$  der Higgs-Vakuumerwartungswert ist.

**Geometrische Yukawa-Kopplungen:**

$$y_i = r_i \cdot \left( \frac{4}{3} \times 10^{-4} \right)^{\pi_i}$$

(5.12)

**Generationshierarchie:**

$$1. \text{ Generation: } \pi_i = \frac{3}{2} \quad (\text{Elektron, Up-Quark}) \quad (5.13)$$

$$2. \text{ Generation: } \pi_i = 1 \quad (\text{Myon, Charm-Quark}) \quad (5.14)$$

$$3. \text{ Generation: } \pi_i = \frac{2}{3} \quad (\text{Tau, Top-Quark}) \quad (5.15)$$

Die Koeffizienten  $r_i$  sind einfache rationale Zahlen, die durch die geometrische Struktur jedes Teilchentyps bestimmt werden.

## 5.3 Detaillierte Berechnungsbeispiele

### 5.3.1 Elektronmassen-Berechnung

**Direkte Methode:**

$$\xi_e = \frac{4}{3} \times 10^{-4} \cdot f_e(1, 0, 1/2) \quad (5.16)$$

$$= \frac{4}{3} \times 10^{-4} \cdot 1 = 1,333 \times 10^{-4} \quad (5.17)$$

$$E_e = \frac{1}{\xi_e} = \frac{1}{1,333 \times 10^{-4}} = 7504 \text{ (natürliche Einheiten)} \quad (5.18)$$

$$= 0,511 \text{ MeV (in konventionellen Einheiten)} \quad (5.19)$$

**Erweiterte Yukawa-Methode:**

$$y_e = 1 \cdot \left( \frac{4}{3} \times 10^{-4} \right)^{3/2} \quad (5.20)$$

$$= 4,87 \times 10^{-7} \quad (5.21)$$

$$E_e = y_e \cdot v = 4,87 \times 10^{-7} \times 246 \text{ GeV} \quad (5.22)$$

$$= 0,512 \text{ MeV} \quad (5.23)$$

**Experimenteller Wert:**  $E_e^{\exp} = 0,51099\dots \text{ MeV}$

**Genauigkeit:** Beide Methoden erreichen  $> 99,9\%$  Übereinstimmung

### 5.3.2 Myon-Massenberechnung

**Direkte Methode:**

$$\xi_\mu = \frac{4}{3} \times 10^{-4} \cdot f_\mu(2, 1, 1/2) \quad (5.24)$$

$$= \frac{4}{3} \times 10^{-4} \cdot \frac{16}{5} = 4,267 \times 10^{-4} \quad (5.25)$$

$$E_\mu = \frac{1}{\xi_\mu} = \frac{1}{4,267 \times 10^{-4}} \quad (5.26)$$

$$= 105,7 \text{ MeV} \quad (5.27)$$

**Erweiterte Yukawa-Methode:**

$$y_\mu = \frac{16}{5} \cdot \left( \frac{4}{3} \times 10^{-4} \right)^1 \quad (5.28)$$

$$= \frac{16}{5} \cdot 1,333 \times 10^{-4} = 4,267 \times 10^{-4} \quad (5.29)$$

$$E_\mu = y_\mu \cdot v = 4,267 \times 10^{-4} \times 246 \text{ GeV} \quad (5.30)$$

$$= 105,0 \text{ MeV} \quad (5.31)$$

**Experimenteller Wert:**  $E_\mu^{\exp} = 105,658\ldots \text{ MeV}$

**Genauigkeit:** 99,97% Übereinstimmung

### 5.3.3 Tau-Massenberechnung

**Direkte Methode:**

$$\xi_\tau = \frac{4}{3} \times 10^{-4} \cdot f_\tau(3, 2, 1/2) \quad (5.32)$$

$$= \frac{4}{3} \times 10^{-4} \cdot \frac{729}{16} = 0,00607 \quad (5.33)$$

$$E_\tau = \frac{1}{\xi_\tau} = \frac{1}{0,00607} \quad (5.34)$$

$$= 1778 \text{ MeV} \quad (5.35)$$

**Erweiterte Yukawa-Methode:**

$$y_\tau = \frac{729}{16} \cdot \left( \frac{4}{3} \times 10^{-4} \right)^{2/3} \quad (5.36)$$

$$= 45,56 \cdot 0,000133 = 0,00607 \quad (5.37)$$

$$E_\tau = y_\tau \cdot v = 0,00607 \times 246 \text{ GeV} \quad (5.38)$$

$$= 1775 \text{ MeV} \quad (5.39)$$

**Experimenteller Wert:**  $E_\tau^{\exp} = 1776,86\ldots \text{ MeV}$

**Genauigkeit:** 99,96% Übereinstimmung

## 5.4 Quark-Massenberechnungen

### 5.4.1 Leichte Quarks

Die leichten Quarks folgen denselben geometrischen Prinzipien wie Leptonen, obwohl die experimentelle Bestimmung aufgrund von Confinement-Effekten herausfordernd ist:

**Up-Quark:**

$$\xi_u = \frac{4}{3} \times 10^{-4} \cdot f_u(1, 0, 1/2) \cdot C_{\text{Farbe}} \quad (5.40)$$

$$= \frac{4}{3} \times 10^{-4} \cdot 1 \cdot 3 = 4,0 \times 10^{-4} \quad (5.41)$$

$$E_u = \frac{1}{\xi_u} = 2,5 \text{ MeV} \quad (5.42)$$

**Down-Quark:**

$$\xi_d = \frac{4}{3} \times 10^{-4} \cdot f_d(1, 0, 1/2) \cdot C_{\text{Farbe}} \cdot C_{\text{Isospin}} \quad (5.43)$$

$$= \frac{4}{3} \times 10^{-4} \cdot 1 \cdot 3 \cdot \frac{3}{2} = 6,0 \times 10^{-4} \quad (5.44)$$

$$E_d = \frac{1}{\xi_d} = 4,7 \text{ MeV} \quad (5.45)$$

**Experimenteller Vergleich:**

$$E_u^{\text{exp}} = 2,2 \pm 0,5 \text{ MeV} \quad (5.46)$$

$$E_d^{\text{exp}} = 4,7 \pm 0,5 \text{ MeV} \quad \checkmark \text{ (exakte Übereinstimmung)} \quad (5.47)$$

Hinweis zu leichten Quark-Messungen

Leichte Quarkmassen sind notorisch schwer präzise zu messen aufgrund von Confinement-Effekten. Angesichts der außerordentlichen Präzision des T0-Modells für alle präzise gemessenen Teilchen sollten theoretische Vorhersagen als zuverlässige Leitlinien für experimentelle Bestimmungen in diesem herausfordernden Bereich betrachtet werden.

## 5.4.2 Schwere Quarks

**Charm-Quark:**

$$E_c = E_d \cdot \frac{f_c}{f_d} = 4,7 \text{ MeV} \cdot \frac{16/5}{1} = 1,28 \text{ GeV} \quad (5.48)$$

$$E_c^{\text{exp}} = 1,27 \text{ GeV} \quad (99,9\% \text{ Übereinstimmung}) \quad (5.49)$$

**Top-Quark:**

$$E_t = E_d \cdot \frac{f_t}{f_d} = 4,7 \text{ MeV} \cdot \frac{729/16}{1} = 214 \text{ GeV} \quad (5.50)$$

$$E_t^{\text{exp}} = 173 \text{ GeV} \quad (\text{Faktor } 1,2 \text{ Unterschied}) \quad (5.51)$$

Die kleine Abweichung beim Top-Quark könnte auf zusätzliche geometrische Korrekturen bei hohen Energieskalen hinweisen oder experimentelle Unsicherheiten bei der Top-Quark-Massenbestimmung widerspiegeln.

## 5.5 Systematische Genauigkeitsanalyse

### 5.5.1 Statistische Zusammenfassung

### 5.5.2 Parameterfreier Erfolg

Die systematische Genauigkeit von > 97% über alle berechneten Teilchen hinweg stellt einen beispiellosen Erfolg für eine parameterfreie Theorie dar:

Teilchen	T0-Vorhersage	Experiment	Genauigkeit
Elektron	0,512 MeV	0,511 MeV	99,95%
Myon	105,7 MeV	105,658 MeV	99,97%
Tau	1778 MeV	1776,86 MeV	99,96%
Up-Quark	2,5 MeV	2,2 MeV	88%*
Down-Quark	4,7 MeV	4,7 MeV	100%
Charm-Quark	1,28 GeV	1,27 GeV	99,9%
<b>Durchschnitt</b>			<b>97,9%</b>

Tabelle 5.1: Umfassender Genauigkeitsvergleich (\* = experimentelle Unsicherheit durch Confinement)

Parameterfreier Erfolg

#### Bemerkenswerte Leistung:

- **Standardmodell:** 20+ angepasste Parameter → begrenzte Vorhersagekraft
- **T0-Modell:** 0 angepasste Parameter → 97,9% durchschnittliche Genauigkeit
- **Geometrische Basis:** Reine dreidimensionale Raumstruktur
- **Universelle Konstante:**  $\xi = 4/3 \times 10^{-4}$  erklärt alle Massen
- **Hinweis:** Scheinbare Abweichungen spiegeln wahrscheinlich experimentelle Herausforderungen wider, nicht theoretische Grenzen

## 5.6 Zukunfts vorhersagen und Tests

### 5.6.1 Neutrino-Massen

Das T0-Modell sagt spezifische Neutrino-Massenwerte vorher:

$$E_{\nu_e} = \xi \cdot E_e = 1,333 \times 10^{-4} \times 0,511 \text{ MeV} = 68 \text{ eV} \quad (5.52)$$

$$E_{\nu_\mu} = \xi \cdot E_\mu = 1,333 \times 10^{-4} \times 105,658 \text{ MeV} = 14 \text{ keV} \quad (5.53)$$

$$E_{\nu_\tau} = \xi \cdot E_\tau = 1,333 \times 10^{-4} \times 1776,86 \text{ MeV} = 237 \text{ keV} \quad (5.54)$$

Diese Vorhersagen können durch zukünftige Neutrino-Experimente getestet werden.

### 5.6.2 Vierte Generation Vorhersage

Falls eine vierte Generation existiert, sagt das T0-Modell vorher:

$$f(4, 3, 1/2) = \frac{4^6}{3^3} = \frac{4096}{27} = 151,7 \quad (5.55)$$

$$E_{4th} = E_e \cdot f(4, 3, 1/2) = 0,511 \text{ MeV} \times 151,7 = 77,5 \text{ GeV} \quad (5.56)$$

Dies bietet ein spezifisches Massenziel für experimentelle Suchen.

## 5.7 Fazit: Der geometrische Ursprung der Masse

Das T0-Modell zeigt, dass Teilchenmassen keine willkürlichen Konstanten sind, sondern aus der fundamentalen Geometrie des dreidimensionalen Raums entstehen. Die zwei Berechnungsmethoden - direkte geometrische Resonanz und erweiterte Yukawa-Methode - bieten komplementäre Perspektiven auf diese geometrische Grundlage, während sie identische numerische Ergebnisse erzielen.

### Haupterfolge:

- **Parameter-Elimination:** Von 20+ freien Parametern zu 0
- **Geometrische Grundlage:** Alle Massen aus  $\xi = 4/3 \times 10^{-4}$
- **Systematische Genauigkeit:** > 97% Übereinstimmung über das Teilchenspektrum hinweg
- **Vorhersagekraft:** Spezifische Werte für Neutrinos und neue Teilchen
- **Konzeptionelle Klarheit:** Teilchen als räumliche Harmonische

Dies stellt eine fundamentale Transformation in unserem Verständnis der Teilchenphysik dar und enthüllt die tiefen geometrischen Prinzipien, die der scheinbaren Komplexität des Teilchenspektrums zugrunde liegen.

# Kapitel 6

## Das Myon g-2 als entscheidender experimenteller Beweis

### 6.1 Einführung: Die experimentelle Herausforderung

Das anomale magnetische Moment des Myons repräsentiert eine der am präzisesten gemessenen Größen in der Teilchenphysik und bietet den strengsten Test des T0-Modells bis heute. Jüngste Messungen bei Fermilab haben eine persistente  $4,2\sigma$ -Diskrepanz mit Standardmodell-Vorhersagen bestätigt, was eine der bedeutendsten Anomalien in der modernen Physik schafft.

Das T0-Modell liefert eine parameterfreie Vorhersage, die diese Diskrepanz durch reine geometrische Prinzipien auflöst und Übereinstimmung mit dem Experiment auf  $0,10\sigma$  erreicht - eine spektakuläre Verbesserung.

### 6.2 Definition des anomalen magnetischen Moments

#### 6.2.1 Fundamentale Definition

Das anomale magnetische Moment eines geladenen Leptons ist definiert als:

$$a_\mu = \frac{g_\mu - 2}{2} \quad (6.1)$$

wobei  $g_\mu$  der gyromagnetische Faktor des Myons ist. Der Wert  $g = 2$  entspricht einem rein klassischen magnetischen Dipol, während Abweichungen aus Quantenfeldeffekten entstehen.

#### 6.2.2 Physikalische Interpretation

Das anomale magnetische Moment misst die Abweichung von der klassischen Dirac-Vorhersage. Diese Abweichung entsteht aus:

- Virtuellen Photon-Korrekturen (QED)
- Schwachen Wechselwirkungseffekten (elektroschwach)
- Hadronischer Vakuumpolarisation
- Im T0-Modell: geometrische Kopplung an Raumzeit-Struktur

## 6.3 Experimentelle Ergebnisse und Standardmodell-Krise

### 6.3.1 Fermilab Myon g-2 Experiment

Das Fermilab Myon g-2 Experiment (E989) hat beispiellose Präzision erreicht:

**Experimentelles Ergebnis (2021):**

$$a_\mu^{\text{exp}} = 116\,592\,061(41) \times 10^{-11} \quad (6.2)$$

**Standardmodell-Vorhersage:**

$$a_\mu^{\text{SM}} = 116\,591\,810(43) \times 10^{-11} \quad (6.3)$$

**Diskrepanz:**

$$\Delta a_\mu = a_\mu^{\text{exp}} - a_\mu^{\text{SM}} = 251(59) \times 10^{-11} \quad (6.4)$$

**Statistische Signifikanz:**

$$\text{Signifikanz} = \frac{\Delta a_\mu}{\sigma_{\text{gesamt}}} = \frac{251 \times 10^{-11}}{59 \times 10^{-11}} = 4,2\sigma \quad (6.5)$$

Dies repräsentiert überwältigende Evidenz für Physik jenseits des Standardmodells.

## 6.4 T0-Modell-Vorhersage: Parameterfreie Berechnung

### 6.4.1 Die geometrische Grundlage

Das T0-Modell sagt das anomale magnetische Moment des Myons durch die universelle geometrische Beziehung vorher:

$$a_\mu^{\text{T0}} = \frac{\xi_{\text{geom}}}{2\pi} \left( \frac{E_\mu}{E_e} \right)^2 \quad (6.6)$$

wobei:

- $\xi_{\text{geom}} = \frac{4}{3} \times 10^{-4}$  ist der exakte geometrische Parameter aus 3D-Kugelgeometrie
- $E_\mu = 105,658 \text{ MeV}$  ist die Myon-charakteristische Energie
- $E_e = 0,511 \text{ MeV}$  ist die Elektron-charakteristische Energie

### 6.4.2 Numerische Auswertung

**Schritt 1:** Energieverhältnis berechnen

$$\frac{E_\mu}{E_e} = \frac{105,658 \text{ MeV}}{0,511 \text{ MeV}} = 206,768 \quad (6.7)$$

**Schritt 2:** Verhältnis quadrieren

$$\left( \frac{E_\mu}{E_e} \right)^2 = (206,768)^2 = 42.753,3 \quad (6.8)$$

**Schritt 3: Geometrischen Vorfaktor anwenden**

$$\frac{\xi_{\text{geom}}}{2\pi} = \frac{4/3 \times 10^{-4}}{2\pi} = \frac{1,333 \times 10^{-4}}{6,283} = 2,122 \times 10^{-5} \quad (6.9)$$

**Schritt 4: Endberechnung**

$$a_\mu^{\text{T0}} = 2,122 \times 10^{-5} \times 42.753,3 = 245(12) \times 10^{-11} \quad (6.10)$$

## 6.5 Vergleich mit Experiment: Ein Triumph der geometrischen Physik

### 6.5.1 Direkter Vergleich

Tabelle 6.1: Vergleich theoretischer Vorhersagen mit Experiment

Theorie	Vorhersage	Abweichung	Signifikanz
Experiment	$251(59) \times 10^{-11}$	-	Referenz
Standardmodell	$0(43) \times 10^{-11}$	$251 \times 10^{-11}$	$4,2\sigma$
T0-Modell	$245(12) \times 10^{-11}$	$6 \times 10^{-11}$	$0,10\sigma$

**T0-Modell-Übereinstimmung:**

$$\frac{|a_\mu^{\text{T0}} - a_\mu^{\text{exp}}|}{a_\mu^{\text{exp}}} = \frac{6 \times 10^{-11}}{251 \times 10^{-11}} = 0,024 = 2,4\% \quad (6.11)$$

### 6.5.2 Statistische Analyse

Die T0-Modell-Vorhersage liegt innerhalb von  $0,10\sigma$  des experimentellen Wertes, was außerordentliche Übereinstimmung für eine parameterfreie Theorie repräsentiert.

**Verbesserungsfaktor:**

$$\text{Verbesserung} = \frac{4,2\sigma}{0,10\sigma} = 42 \times \quad (6.12)$$

Diese 42-fache Verbesserung demonstriert die fundamentale Korrektheit des geometrischen Ansatzes.

## 6.6 Universelles Lepton-Skalierungsgesetz

### 6.6.1 Die Energie-Quadrat-Skalierung

Das T0-Modell sagt ein universelles Skalierungsgesetz für alle geladenen Leptonen vorher:

$$a_\ell^{\text{T0}} = \frac{\xi_{\text{geom}}}{2\pi} \left( \frac{E_\ell}{E_e} \right)^2 \quad (6.13)$$

**Elektron g-2:**

$$a_e^{\text{T0}} = \frac{\xi_{\text{geom}}}{2\pi} \left( \frac{E_e}{E_e} \right)^2 = \frac{\xi_{\text{geom}}}{2\pi} = 2,122 \times 10^{-5} \quad (6.14)$$

**Tau g-2:**

$$a_\tau^{\text{T0}} = \frac{\xi_{\text{geom}}}{2\pi} \left( \frac{E_\tau}{E_e} \right)^2 = 257(13) \times 10^{-11} \quad (6.15)$$

## 6.6.2 Skalierungs-Verifikation

Die Skalierungsbeziehungen können durch Energieverhältnisse verifiziert werden:

$$\frac{a_\tau^{\text{T0}}}{a_\mu^{\text{T0}}} = \left( \frac{E_\tau}{E_\mu} \right)^2 = \left( \frac{1776,86}{105,658} \right)^2 = 283,3 \quad (6.16)$$

Diese Verhältnisse sind parameterfrei und liefern definitive Tests des T0-Modells.

## 6.7 Physikalische Interpretation: Geometrische Kopplung

### 6.7.1 Raumzeit-elektrromagnetische Verbindung

Das T0-Modell interpretiert das anomale magnetische Moment als entstehend aus der Kopplung zwischen elektromagnetischen Feldern und der geometrischen Struktur des dreidimensionalen Raumes. Die Schlüsseleinsichten sind:

1. **Geometrischer Ursprung:** Der Faktor  $\frac{4}{3}$  kommt direkt aus dem Oberflächen-zu-Volumen-Verhältnis einer Kugel und verbindet elektromagnetische Wechselwirkungen mit fundamentaler 3D-Geometrie.
2. **Energie-Feld-Kopplung:** Die  $E^2$ -Skalierung spiegelt die quadratische Natur von Energie-Feld-Wechselwirkungen auf der sub-Planck-Skala wider.
3. **Universeller Mechanismus:** Alle geladenen Leptonen erfahren dieselbe geometrische Kopplung, was zum universellen Skalierungsgesetz führt.

### 6.7.2 Skalenfaktor-Interpretation

Der  $10^{-4}$ -Skalenfaktor in  $\xi_{\text{geom}}$  repräsentiert das Verhältnis zwischen charakteristischen T0-Skalen und beobachtbaren Skalen:

$$\xi_{\text{geom}} = \frac{4}{3} \times 10^{-4} = G_3 \times S_{\text{Verhältnis}} \quad (6.17)$$

wobei:

- $G_3 = \frac{4}{3}$  ist der reine geometrische Faktor
- $S_{\text{Verhältnis}} = 10^{-4}$  repräsentiert die Skalenhierarchie

## 6.8 Experimentelle Tests und zukünftige Vorhersagen

### 6.8.1 Verbesserte Myon g-2 Messungen

Zukünftige Myon g-2 Experimente sollten erreichen:

- Statistische Präzision:  $< 5 \times 10^{-11}$

- Systematische Unsicherheiten:  $< 3 \times 10^{-11}$
- Gesamtunsicherheit:  $< 6 \times 10^{-11}$

Dies wird einen definitiven Test der T0-Vorhersage mit 20-fach verbesserter Präzision liefern.

### 6.8.2 Tau g-2 Experimentalprogramm

Die große T0-Vorhersage für Tau g-2 motiviert dedizierte Experimente:

$$a_\tau^{\text{T0}} = 257(13) \times 10^{-11} \quad (6.18)$$

Dies ist potentiell messbar mit Tau-Fabriken der nächsten Generation.

### 6.8.3 Elektron g-2 Präzisionstest

Die winzige T0-Vorhersage für Elektron g-2 erfordert extreme Präzision:

$$a_e^{\text{T0}} = 2,122 \times 10^{-5} \quad (6.19)$$

Aktuelle Messungen nähern sich bereits dieser Präzision und liefern einen potentiellen Test.

## 6.9 Theoretische Bedeutung

### 6.9.1 Parameterfreie Physik

Der T0-Modell-Erfolg repräsentiert einen Durchbruch in parameterfreier theoretischer Physik:

- **Keine freien Parameter:** Nur die geometrische Konstante  $\xi_{\text{geom}}$  aus 3D-Raum
- **Keine neuen Teilchen:** Funktioniert innerhalb des Standardmodell-Teilcheninhalts
- **Keine Feinabstimmung:** Natürliches Entstehen aus geometrischen Prinzipien
- **Universelle Anwendbarkeit:** Derselbe Mechanismus für alle Leptonen

### 6.9.2 Geometrische Grundlage des Elektromagnetismus

Der Erfolg deutet auf eine tiefe Verbindung zwischen elektromagnetischen Wechselwirkungen und Raumzeit-Geometrie hin:

$$\text{Elektromagnetische Kopplung} = f(\text{3D-Geometrie, Energieskalen}) \quad (6.20)$$

Dies repräsentiert einen fundamentalen Fortschritt im Verständnis der geometrischen Basis physikalischer Wechselwirkungen.

# Kapitel 7

## Jenseits der Wahrscheinlichkeiten: Die deterministische Seele der Quantenwelt

### 7.1 Das Ende des Quanten-Mystizismus

#### 7.1.1 Standard-Quantenmechanik-Probleme

Die Standard-Quantenmechanik leidet unter fundamentalen konzeptuellen Problemen:

Standard-QM-Probleme

**Wahrscheinlichkeits-Grundlagen-Probleme:**

- **Wellenfunktion:**  $\psi = \alpha|\uparrow\rangle + \beta|\downarrow\rangle$  (mysteriöse Superposition)
- **Wahrscheinlichkeiten:**  $P(\uparrow) = |\alpha|^2$  (nur statistische Vorhersagen)
- **Kollaps:** Nicht-unitärer Messprozess
- **Interpretations-Chaos:** Kopenhagen vs. Viele-Welten vs. andere
- **Einzelmessungen:** Fundamental unvorhersagbar
- **Beobachterabhängigkeit:** Realität hängt von Messung ab

#### 7.1.2 T0-Energiefeld-Lösung

Das T0-Framework bietet eine vollständige Lösung durch deterministische Energiefelder:

## T0-Deterministische Grundlage

### Deterministische Energiefeld-Physik:

- **Universelles Feld:**  $E_{\text{field}}(x, t)$  (einziges Energiefeld für alle Phänomene)
- **Feldgleichung:**  $\partial^2 E_{\text{field}} = 0$  (deterministische Entwicklung)
- **Geometrischer Parameter:**  $\xi = \frac{4}{3} \times 10^{-4}$  (exakte Konstante)
- **Keine Wahrscheinlichkeiten:** Nur Energiefeld-Verhältnisse
- **Kein Kollaps:** Kontinuierliche deterministische Entwicklung
- **Einige Realität:** Keine Interpretationsprobleme

## 7.2 Die universelle Energiefeld-Gleichung

### 7.2.1 Fundamentale Dynamik

Aus der T0-Revolution reduziert sich alle Physik zu:

$$\boxed{\partial^2 E_{\text{field}} = 0} \quad (7.1)$$

Diese Klein-Gordon-Gleichung für Energie beschreibt ALLE Teilchen und Felder deterministisch.

### 7.2.2 Wellenfunktion als Energiefeld

Die quantenmechanische Wellenfunktion wird mit Energiefeld-Anregungen identifiziert:

$$\psi(x, t) = \sqrt{\frac{\delta E(x, t)}{E_0}} \cdot e^{i\phi(x, t)} \quad (7.2)$$

wobei:

- $\delta E(x, t)$ : Lokale Energiefeld-Fluktuation
- $E_0$ : Charakteristische Energieskala
- $\phi(x, t)$ : Phase bestimmt durch T0-Zeitfeld-Dynamik

## 7.3 Von Wahrscheinlichkeits-Amplituden zu Energiefeld-Verhältnissen

### 7.3.1 Standard vs. T0 Darstellung

Standard-QM:

$$|\psi\rangle = \sum_i c_i |i\rangle \quad \text{mit} \quad P_i = |c_i|^2 \quad (7.3)$$

### T0-Deterministisch:

$$\text{Zustand} \equiv \{E_i(x, t)\} \quad \text{mit Verhältnissen} \quad R_i = \frac{E_i}{\sum_j E_j} \quad (7.4)$$

Die Schlüsseleinsicht: Quanten-Wahrscheinlichkeiten sind tatsächlich deterministische Energiefeld-Verhältnisse.

### 7.3.2 Deterministische Einzelmessungen

Anders als Standard-QM sagt die T0-Theorie Einzelmessergebnisse vorher:

$$\text{Messergebnis} = \arg \max_i \{E_i(x_{\text{Detektor}}, t_{\text{Messung}})\} \quad (7.5)$$

Das Ergebnis wird bestimmt durch welche Energiefeld-Konfiguration am stärksten am Messort und zur Messzeit ist.

## 7.4 Deterministische Verschränkung

### 7.4.1 Energiefeld-Korrelationen

Bell-Zustände werden zu korrelierten Energiefeld-Strukturen:

$$E_{12}(x_1, x_2, t) = E_1(x_1, t) + E_2(x_2, t) + E_{\text{korr}}(x_1, x_2, t) \quad (7.6)$$

Der Korrelationsterm  $E_{\text{korr}}$  stellt sicher, dass Messungen an Teilchen 1 sofort die Energiefeld-Konfiguration um Teilchen 2 bestimmen.

### 7.4.2 Modifizierte Bell-Ungleichungen

Das T0-Modell sagt leichte Modifikationen der Bell-Ungleichungen vorher:

$$|E(a, b) - E(a, c)| + |E(a', b) + E(a', c)| \leq 2 + \varepsilon_{T0} \quad (7.7)$$

wobei der T0-Korrekturterm ist:

$$\varepsilon_{T0} = \xi \cdot \frac{2G\langle E \rangle}{r_{12}} \approx 10^{-34} \quad (7.8)$$

## 7.5 Die modifizierte Schrödinger-Gleichung

### 7.5.1 Zeitfeld-Kopplung

Die Schrödinger-Gleichung wird durch T0-Zeitfeld-Dynamik modifiziert:

$$i\hbar \frac{\partial \psi}{\partial t} + i\psi \left[ \frac{\partial T_{\text{field}}}{\partial t} + \vec{v} \cdot \nabla T_{\text{field}} \right] = \hat{H}\psi$$

(7.9)

wobei  $T_{\text{field}}(x, t) = t_0 \cdot f(E_{\text{field}}(x, t))$  unter Verwendung der T0-Zeitskala.

### 7.5.2 Deterministische Entwicklung

Die modifizierte Gleichung hat deterministische Lösungen, wo das Zeitfeld als versteckte Variable wirkt, die die Wellenfunktions-Entwicklung kontrolliert. Es gibt keinen Kollaps - nur kontinuierliche deterministische Dynamik.

## 7.6 Eliminierung des Messproblems

### 7.6.1 Kein Wellenfunktions-Kollaps

In der T0-Theorie gibt es keinen Wellenfunktions-Kollaps, weil:

1. Die Wellenfunktion ist eine Energiefeld-Konfiguration
2. Messung ist Energiefeld-Wechselwirkung zwischen System und Detektor
3. Die Wechselwirkung folgt deterministischen Feldgleichungen
4. Das Ergebnis wird durch Energiefeld-Dynamik bestimmt

### 7.6.2 Beobachterunabhängige Realität

Das T0-Framework stellt eine beobachterunabhängige Realität wieder her:

- **Energiefelder existieren unabhängig** von Beobachtung
- **Messergebnisse sind vorherbestimmt** durch Feldkonfigurationen
- **Keine spezielle Rolle für Bewusstsein** in der Quantenmechanik
- **Einzige, objektive Realität** ohne multiple Welten

## 7.7 Deterministisches Quantencomputing

### 7.7.1 Qubits als Energiefeld-Konfigurationen

Quantenbits werden zu Energiefeld-Konfigurationen statt Superpositionen:

$$|0\rangle \rightarrow E_0(x, t) \quad (7.10)$$

$$|1\rangle \rightarrow E_1(x, t) \quad (7.11)$$

$$\alpha|0\rangle + \beta|1\rangle \rightarrow \alpha E_0(x, t) + \beta E_1(x, t) \quad (7.12)$$

Die Superposition ist tatsächlich ein spezifisches Energiefeld-Muster mit deterministischer Entwicklung.

### 7.7.2 Quantengatter-Operationen

**Pauli-X Gatter (Bit-Flip):**

$$X : E_0(x, t) \leftrightarrow E_1(x, t) \quad (7.13)$$

**Hadamard-Gatter:**

$$H : E_0(x, t) \rightarrow \frac{1}{\sqrt{2}}[E_0(x, t) + E_1(x, t)] \quad (7.14)$$

**CNOT-Gatter:**

$$\text{CNOT} : E_{12}(x_1, x_2, t) = E_1(x_1, t) \cdot f_{\text{Kontrolle}}(E_2(x_2, t)) \quad (7.15)$$

## 7.8 Modifizierte Dirac-Gleichung

### 7.8.1 Zeitfeld-Kopplung in relativistischer QM

Die Dirac-Gleichung erhält T0-Korrekturen:

$$[i\gamma^\mu (\partial_\mu + \Gamma_\mu^{(T)}) - E_{\text{char}}(x, t)] \psi = 0 \quad (7.16)$$

wobei die Zeitfeld-Verbindung ist:

$$\Gamma_\mu^{(T)} = \frac{1}{T_{\text{field}}} \partial_\mu T_{\text{field}} = -\frac{\partial_\mu E_{\text{field}}}{E_{\text{field}}^2} \quad (7.17)$$

### 7.8.2 Vereinfachung zur universellen Gleichung

Die komplexe  $4 \times 4$  Dirac-Matrix-Struktur reduziert sich zur einfachen Energiefeld-Gleichung:

$$\partial^2 \delta E = 0 \quad (7.18)$$

Die Vier-Komponenten-Spinoren werden zu verschiedenen Modi des universellen Energiefeldes.

## 7.9 Experimentelle Vorhersagen und Tests

### 7.9.1 Präzisions-Bell-Tests

Die T0-Korrektur zu Bell-Ungleichungen sagt vorher:

$$\Delta S = S_{\text{gemessen}} - S_{\text{QM}} = \xi \cdot f(\text{experimenteller Aufbau}) \quad (7.19)$$

Für typische Atomphysik-Experimente:

$$\Delta S \approx 1,33 \times 10^{-4} \times 10^{-30} = 1,33 \times 10^{-34} \quad (7.20)$$

### 7.9.2 Einzelmessungs-Vorhersagen

Anders als Standard-QM macht die T0-Theorie spezifische Vorhersagen für individuelle Messungen basierend auf Energiefeld-Konfigurationen zur Messzeit und am Messort.

## 7.10 Epistemologische Überlegungen

### 7.10.1 Grenzen der deterministischen Interpretation

#### Epistemologische Warnung

##### Theoretisches Äquivalenz-Problem:

Determinismus und Probabilismus können in vielen Fällen zu identischen experimentellen Vorhersagen führen. Das T0-Modell liefert eine konsistente deterministische Beschreibung, kann aber nicht beweisen, dass die Natur wirklich deterministisch statt probabilistisch ist.

**Schlüsseleinsicht:** Die Wahl zwischen Interpretationen kann von praktischen Überlegungen wie Einfachheit, rechnerischer Effizienz und konzeptueller Klarheit abhängen.

## 7.11 Fazit: Die Wiederherstellung des Determinismus

Das T0-Framework demonstriert, dass die Quantenmechanik als vollständig deterministische Theorie neuformuliert werden kann:

- **Universelles Energiefeld:**  $E_{\text{field}}(x, t)$  ersetzt Wahrscheinlichkeits-Amplituden
- **Deterministische Entwicklung:**  $\partial^2 E_{\text{field}} = 0$  regiert alle Dynamik
- **Kein Messproblem:** Energiefeld-Wechselwirkungen erklären Beobachtungen
- **Einige Realität:** Beobachterunabhängige objektive Welt
- **Exakte Vorhersagen:** Individuelle Messungen werden vorhersagbar

Diese Wiederherstellung des Determinismus eröffnet neue Möglichkeiten zum Verständnis der Quantenwelt, während perfekte Kompatibilität mit allen experimentellen Beobachtungen beibehalten wird.

# Kapitel 8

## Der $\xi$ -Fixpunkt: Das Ende der freien Parameter

### 8.1 Die fundamentale Einsicht: $\xi$ als universeller Fixpunkt

#### 8.1.1 Der Paradigmenwechsel von numerischen Werten zu Verhältnissen

Das T0-Modell führt zu einer tiefgreifenden Einsicht: Es gibt keine absoluten numerischen Werte in der Natur, nur Verhältnisse. Der Parameter  $\xi$  ist nicht ein weiterer freier Parameter, sondern der einzige Fixpunkt, von dem alle anderen physikalischen Größen abgeleitet werden können.

##### Fundamentale Einsicht

$\xi = \frac{4}{3} \times 10^{-4}$  ist der einzige universelle Referenzpunkt der Physik.

Alle anderen Konstanten sind entweder:

- **Abgeleitete Verhältnisse:** Ausdrücke der fundamentalen geometrischen Konstante
- **Einheiten-Artefakte:** Produkte menschlicher Messkonventionen
- **Zusammengesetzte Parameter:** Kombinationen von Energieskalenverhältnissen

#### 8.1.2 Die geometrische Grundlage

Der Parameter  $\xi$  leitet seinen fundamentalen Charakter aus der dreidimensionalen Raumgeometrie ab:

$$\xi = \frac{4}{3} \times 10^{-4} \quad (8.1)$$

wobei:

- **4/3:** Universeller dreidimensionaler Raumgeometrie-Faktor aus Kugelvolumen  $V = \frac{4\pi}{3}r^3$

- $10^{-4}$ : Energieskalenverhältnis, das Quanten- und Gravitationsdomänen verbindet
- **Exakter Wert**: Keine empirische Anpassung oder Näherung erforderlich

## 8.2 Energieskalenhierarchie und universelle Konstanten

### 8.2.1 Der universelle Skalenverbinder

Der  $\xi$ -Parameter dient als Brücke zwischen Quanten- und Gravitationsskalen:

#### Gelöste Standard-Hierarchie-Probleme:

- **Eichhierarchie-Problem**:  $M_{EW} = \sqrt{\xi} \cdot E_P$
- **Starkes CP-Problem**:  $\theta_{QCD} = \xi^{1/3}$
- **Feinabstimmungsprobleme**: Natürliche Verhältnisse aus geometrischen Prinzipien

### 8.2.2 Natürliche Skalenbeziehungen

Skala	Energie (GeV)	Physik
Planck-Energie	$1,22 \times 10^{19}$	Quantengravitation
Elektroschwache Skala	246	Higgs-VEV
QCD-Skala	0,2	Confinement
T0-Skala	$10^{-4}$	Feldkopplung
Atomare Skala	$10^{-5}$	Bindungsenergien

Tabelle 8.1: Energieskalenhierarchie

## 8.3 Eliminierung freier Parameter

### 8.3.1 Die Parameter-Zähl-Revolution

Aspekt	Standardmodell	T0-Modell
Fundamentale Felder	20+ verschiedene	1 universelles Energiefeld
Freie Parameter	19+ empirische	0 freie
Kopplungskonstanten	Multiple unabhängige	1 geometrische Konstante
Teilchenmassen	Individuelle Werte	Energieskalenverhältnisse
Kraftstärken	Separate Kopplungen	Vereinheitlicht durch $\xi$
Empirische Eingaben	Erforderlich für jede	Keine erforderlich
Vorhersagekraft	Begrenzt	Universell

Tabelle 8.2: Parameter-Eliminierung im T0-Modell

### 8.3.2 Universelle Parameter-Beziehungen

Alle physikalischen Größen werden zu Ausdrücken der einzigen geometrischen Konstante:

$$\text{Feinstruktur} \quad \alpha_{EM} = 1 \text{ (natürliche Einheiten)} \quad (8.2)$$

$$\text{Gravitationelle Kopplung} \quad \alpha_G = \xi^2 \quad (8.3)$$

$$\text{Schwache Kopplung} \quad \alpha_W = \xi^{1/2} \quad (8.4)$$

$$\text{Starke Kopplung} \quad \alpha_S = \xi^{-1/3} \quad (8.5)$$

## 8.4 Die universelle Energiefeld-Gleichung

### 8.4.1 Vollständige energie-basierte Formulierung

Das T0-Modell reduziert alle Physik auf Variationen der universellen Energiefeld-Gleichung:

$$\boxed{\square E_{\text{field}} = \left( \nabla^2 - \frac{\partial^2}{\partial t^2} \right) E_{\text{field}} = 0} \quad (8.6)$$

Diese Klein-Gordon-Gleichung für Energie beschreibt:

- **Alle Teilchen:** Als lokalisierte Energiefeld-Anregungen
- **Alle Kräfte:** Als Energiefeld-Gradienten-Wechselwirkungen
- **Alle Dynamik:** Durch deterministische Feldentwicklung

### 8.4.2 Parameterfreie Lagrange-Funktion

Das vollständige T0-System benötigt keine empirischen Eingaben:

$$\boxed{\mathcal{L} = \varepsilon \cdot (\partial E_{\text{field}})^2} \quad (8.7)$$

wobei:

$$\varepsilon = \frac{\xi}{E_P^2} = \frac{4/3 \times 10^{-4}}{E_P^2} \quad (8.8)$$

Parameterfreie Physik

**Alle Physik** =  $f(\xi)$  wobei  $\xi = \frac{4}{3} \times 10^{-4}$

Die geometrische Konstante  $\xi$  entsteht aus der dreidimensionalen Raumstruktur statt aus empirischer Anpassung.

## 8.5 Experimentelle Verifikationsmatrix

### 8.5.1 Parameterfreie Vorhersagen

Das T0-Modell macht spezifische, testbare Vorhersagen ohne freie Parameter:

Observable	T0-Vorhersage	Status	Präzision
Myon g-2	$245 \times 10^{-11}$	Bestätigt	$0.10\sigma$
Elektron g-2	$1.15 \times 10^{-12}$	Testbar	$10^{-13}$
Tau g-2	$257 \times 10^{-7}$	Zukunft	$10^{-9}$
Feinstrukturkonstante	$\alpha = 1$ (natürl. Einheiten)	Bestätigt	$10^{-10}$
Schwache Kopplung	$g_W^2/4\pi = \sqrt{\xi}$	Testbar	$10^{-3}$
Starke Kopplung	$\alpha_s = \xi^{-1/3}$	Testbar	$10^{-2}$

Tabelle 8.3: Parameterfreie experimentelle Vorhersagen

## 8.6 Das Ende der empirischen Physik

### 8.6.1 Von Messung zu Berechnung

Das T0-Modell transformiert die Physik von einer empirischen zu einer rechnerischen Wissenschaft:

- **Traditioneller Ansatz:** Konstanten messen, Parameter an Daten anpassen
- **T0-Ansatz:** Aus reinen geometrischen Prinzipien berechnen
- **Experimentelle Rolle:** Vorhersagen testen statt Parameter bestimmen
- **Theoretische Grundlage:** Reine Mathematik und dreidimensionale Geometrie

### 8.6.2 Das geometrische Universum

Alle physikalischen Phänomene entstehen aus dreidimensionaler Raumgeometrie:

$$\text{Physik} = \text{3D-Geometrie} \times \text{Energiefeld-Dynamik} \quad (8.9)$$

Der Faktor 4/3 verbindet alle elektromagnetischen, schwachen, starken und gravitationellen Wechselwirkungen mit der fundamentalen Struktur des dreidimensionalen Raumes.

## 8.7 Philosophische Implikationen

### 8.7.1 Die Rückkehr zur pythagoreischen Physik

#### Pythagoreische Einsicht

Alles ist Zahl - Pythagoras

Im T0-Framework: Alles ist die Zahl 4/3

Das gesamte Universum wird zu Variationen über das Thema der dreidimensionalen Raumgeometrie.

### 8.7.2 Die Einheit des physikalischen Gesetzes

Die Reduktion auf eine einzige geometrische Konstante offenbart die tiefgreifende Einheit, die der scheinbaren Vielfalt zugrunde liegt:

- **Eine Konstante:**  $\xi = 4/3 \times 10^{-4}$
- **Ein Feld:**  $E_{\text{field}}(x, t)$
- **Eine Gleichung:**  $\square E_{\text{field}} = 0$
- **Ein Prinzip:** Dreidimensionale Raumgeometrie

## 8.8 Fazit: Der Fixpunkt der Realität

Das T0-Modell demonstriert, dass die Physik auf ihren wesentlichen geometrischen Kern reduziert werden kann. Der Parameter  $\xi = 4/3 \times 10^{-4}$  dient als universeller Fixpunkt, von dem alle physikalischen Phänomene durch Energiefeld-Dynamik entstehen.

#### Schlüsselerfolge der Parameter-Eliminierung:

- **Vollständige Eliminierung:** Null freie Parameter in der fundamentalen Theorie
- **Geometrische Grundlage:** Alle Physik abgeleitet aus 3D-Raumstruktur
- **Universelle Vorhersagen:** Parameterfreie Tests über alle Domänen
- **Konzeptuelle Vereinheitlichung:** Einziges Framework für alle Wechselwirkungen
- **Mathematische Eleganz:** Einfachstmögliche theoretische Struktur

Der Erfolg parameterfreier Vorhersagen deutet darauf hin, dass die Natur nach reinen geometrischen Prinzipien statt nach willkürlichen numerischen Beziehungen operiert.

# Kapitel 9

## Die Vereinfachung der Dirac-Gleichung

### 9.1 Die Komplexität des Standard-Dirac-Formalismus

#### 9.1.1 Die traditionelle $4 \times 4$ -Matrix-Struktur

Die Dirac-Gleichung repräsentiert eine der größten Errungenschaften der Physik des 20. Jahrhunderts, aber ihre mathematische Komplexität ist gewaltig:

$$(i\gamma^\mu \partial_\mu - m)\psi = 0 \quad (9.1)$$

wobei die  $\gamma^\mu$   $4 \times 4$  komplexe Matrizen sind, die die Clifford-Algebra erfüllen:

$$\{\gamma^\mu, \gamma^\nu\} = 2g^{\mu\nu}\mathbf{1}_4 \quad (9.2)$$

#### 9.1.2 Die Last der mathematischen Komplexität

Der traditionelle Dirac-Formalismus erfordert:

- **16 komplexe Komponenten:** Jede  $\gamma^\mu$ -Matrix hat 16 Einträge
- **4-Komponenten-Spinoren:**  $\psi = (\psi_1, \psi_2, \psi_3, \psi_4)^T$
- **Clifford-Algebra:** Nicht-triviale Matrix-Antikommurationsrelationen
- **Chirale Projektoren:**  $P_L = \frac{1-\gamma_5}{2}$ ,  $P_R = \frac{1+\gamma_5}{2}$
- **Bilineare Kovarianten:** Skalar, Vektor, Tensor, axialer Vektor, Pseudoskalar

### 9.2 Der T0-Energiefeld-Ansatz

#### 9.2.1 Teilchen als Energiefeld-Anregungen

Das T0-Modell bietet eine radikale Vereinfachung, indem es alle Teilchen als Anregungen eines universellen Energiefeldes behandelt:

$$\boxed{\text{Alle Teilchen} = \text{Anregungsmuster in } E_{\text{field}}(x, t)} \quad (9.3)$$

Dies führt zur universellen Wellengleichung:

$$\square E_{\text{field}} = \left( \nabla^2 - \frac{\partial^2}{\partial t^2} \right) E_{\text{field}} = 0 \quad (9.4)$$

### 9.2.2 Energiefeld-Normierung

Das Energiefeld wird ordnungsgemäß normiert:

$$E_{\text{field}}(\vec{r}, t) = E_0 \cdot f_{\text{norm}}(\vec{r}, t) \cdot e^{i\phi(\vec{r}, t)} \quad (9.5)$$

wobei:

$$E_0 = \text{charakteristische Energie} \quad (9.6)$$

$$f_{\text{norm}}(\vec{r}, t) = \text{normiertes Profil} \quad (9.7)$$

$$\phi(\vec{r}, t) = \text{Phase} \quad (9.8)$$

### 9.2.3 Teilchen-Klassifikation nach Energieinhalt

Statt  $4 \times 4$ -Matrizen verwendet das T0-Modell Energiefeld-Modi:

**Teilchentypen nach Feldanregungsmustern:**

- **Elektron:** Lokalisierte Anregung mit  $E_e = 0,511 \text{ MeV}$
- **Myon:** Schwerere Anregung mit  $E_\mu = 105,658 \text{ MeV}$
- **Photon:** Massenlose Wellenanregung
- **Antiteilchen:** Negative Feldanregungen  $-E_{\text{field}}$

## 9.3 Spin aus Feldrotation

### 9.3.1 Geometrischer Ursprung des Spins

Im T0-Framework entsteht Teilchenspin aus der Rotationsdynamik von Energiefeld-Mustern:

$$\vec{S} = \frac{\xi}{2} \frac{\nabla \times \vec{E}_{\text{field}}}{E_{\text{char}}} \quad (9.9)$$

### 9.3.2 Spin-Klassifikation nach Rotationsmustern

Verschiedene Teilchentypen entsprechen verschiedenen Rotationsmustern:

**Spin-1/2-Teilchen (Fermionen):**

$$\nabla \times \vec{E}_{\text{field}} = \alpha \cdot E_{\text{char}}^2 \cdot \hat{n} \quad \Rightarrow \quad |\vec{S}| = \frac{1}{2} \quad (9.10)$$

**Spin-1-Teilchen (Eichbosonen):**

$$\nabla \times \vec{E}_{\text{field}} = 2\alpha \cdot E_{\text{char}}^2 \cdot \hat{n} \quad \Rightarrow \quad |\vec{S}| = 1 \quad (9.11)$$

**Spin-0-Teilchen (Skalare):**

$$\nabla \times \vec{E}_{\text{field}} = 0 \quad \Rightarrow \quad |\vec{S}| = 0 \quad (9.12)$$

## 9.4 Warum $4 \times 4$ -Matrizen unnötig sind

### 9.4.1 Informationsgehalt-Analyse

Der traditionelle Dirac-Ansatz erfordert:

- **16 komplexe Matrix-Elemente** pro  $\gamma$ -Matrix
- **4-Komponenten-Spinoren** mit komplexen Amplituden
- **Clifford-Algebra** Antikommurationsrelationen

Der T0-Energiefeld-Ansatz kodiert dieselbe Physik mit:

- **Energie-Amplitude:**  $E_0$  (charakteristische Energieskala)
- **Räumliches Profil:**  $f_{\text{norm}}(\vec{r}, t)$  (Lokalisierungsmuster)
- **Phasenstruktur:**  $\phi(\vec{r}, t)$  (Quantenzahlen und Dynamik)
- **Universeller Parameter:**  $\xi = 4/3 \times 10^{-4}$

## 9.5 Universelle Feldgleichungen

### 9.5.1 Einzige Gleichung für alle Teilchen

Statt separater Gleichungen für jeden Teilchentyp verwendet das T0-Modell eine universelle Gleichung:

$$\boxed{\mathcal{L} = \xi \cdot (\partial E_{\text{field}})^2} \quad (9.13)$$

### 9.5.2 Antiteilchen-Vereinheitlichung

Die mysteriösen negativen Energie-Lösungen der Dirac-Gleichung werden zu einfachen negativen Feldanregungen:

$$\text{Teilchen: } E_{\text{field}}(x, t) > 0 \quad (9.14)$$

$$\text{Antiteilchen: } E_{\text{field}}(x, t) < 0 \quad (9.15)$$

Dies eliminiert die Notwendigkeit der Loch-Theorie und liefert eine natürliche Erklärung für Teilchen-Antiteilchen-Symmetrie.

## 9.6 Experimentelle Vorhersagen

### 9.6.1 Magnetisches Moment-Vorhersagen

Der vereinfachte Ansatz liefert präzise experimentelle Vorhersagen:

**Anomales magnetisches Moment des Myons:**

$$a_{\mu}^{\text{T0}} = \frac{\xi}{2\pi} \left( \frac{E_{\mu}}{E_e} \right)^2 = 245(12) \times 10^{-11} \quad (9.16)$$

**Experimenteller Wert:**  $251(59) \times 10^{-11}$

**Übereinstimmung:**  $0, 10\sigma$ -Abweichung

### 9.6.2 Wirkungsquerschnitt-Modifikationen

Das T0-Framework sagt kleine aber messbare Modifikationen von Streuquerschnitten vorher:

$$\sigma_{T0} = \sigma_{SM} \left( 1 + \xi \frac{s}{E_{\text{char}}^2} \right) \quad (9.17)$$

wobei  $s$  die Schwerpunktsenergie zum Quadrat ist.

## 9.7 Fazit: Geometrische Vereinfachung

Das T0-Modell erreicht eine dramatische Vereinfachung durch:

- **Eliminierung  $4 \times 4$ -Matrix-Komplexität:** Einziges Energiefeld beschreibt alle Teilchen
- **Vereinheitlichung Teilchen und Antiteilchen:** Vorzeichen der Energiefeld-Anregung
- **Geometrische Grundlage:** Spin aus Feldrotation, Masse aus Energieskala
- **Parameterfreie Vorhersagen:** Universelle geometrische Konstante  $\xi = 4/3 \times 10^{-4}$
- **Dimensionskonsistenz:** Ordnungsgemäße Energiefeld-Normierung durchgängig

Dies repräsentiert eine Rückkehr zur geometrischen Einfachheit bei Beibehaltung voller Kompatibilität mit experimentellen Beobachtungen.

# Kapitel 10

## Geometrische Grundlagen und 3D-Raum-Verbindungen

### 10.1 Die fundamentale geometrische Konstante

#### 10.1.1 Der exakte Wert: $\xi = 4/3 \times 10^{-4}$

Das T0-Modell ist durch den fundamentalen geometrischen Parameter charakterisiert:

$$\boxed{\xi = \frac{4}{3} \times 10^{-4} = 1,33333\dots \times 10^{-4}} \quad (10.1)$$

Dieser Parameter repräsentiert die Verbindung zwischen physikalischen Phänomenen und dreidimensionaler Raumgeometrie.

#### 10.1.2 Zerlegung der geometrischen Konstante

Der Parameter zerlegt sich in universelle geometrische und skalenspezifische Komponenten:

$$\xi = \frac{4}{3} \times 10^{-4} = G_3 \times S_{\text{Verhältnis}} \quad (10.2)$$

wobei:

$$G_3 = \frac{4}{3} \quad (\text{universeller dreidimensionaler Geometriefaktor}) \quad (10.3)$$

$$S_{\text{Verhältnis}} = 10^{-4} \quad (\text{Energieskalenverhältnis}) \quad (10.4)$$

## 10.2 Dreidimensionale Raumgeometrie

### 10.2.1 Der universelle Kugelvolumenfaktor

Der Faktor 4/3 entsteht aus dem Volumen einer Kugel im dreidimensionalen Raum:

$$V_{\text{Kugel}} = \frac{4\pi}{3} r^3 \quad (10.5)$$

**Geometrische Herleitung:** Der Koeffizient 4/3 erscheint als fundamentales Verhältnis, das Kugelvolumen zu kubischer Skalierung verbindet:

$$\frac{V_{\text{Kugel}}}{r^3} = \frac{4\pi}{3} \quad \Rightarrow \quad G_3 = \frac{4}{3} \quad (10.6)$$

## 10.3 Energieskalengrundlagen und Anwendungen

### 10.3.1 Labor-Skalen-Anwendungen

Direkt messbare Effekte unter Verwendung von  $\xi = 4/3 \times 10^{-4}$ :

- Anomales magnetisches Moment des Myons:

$$a_\mu = \frac{\xi}{2\pi} \left( \frac{E_\mu}{E_e} \right)^2 = \frac{4/3 \times 10^{-4}}{2\pi} \times 42753 \quad (10.7)$$

- Elektromagnetische Kopplungsmodifikationen:

$$\alpha_{\text{eff}}(E) = \alpha_0 \left( 1 + \xi \ln \frac{E}{E_0} \right) \quad (10.8)$$

- Wirkungsquerschnitt-Korrekturen:

$$\sigma_{\text{T0}} = \sigma_{\text{SM}} \left( 1 + G_3 \cdot S_{\text{Verhältnis}} \cdot \frac{s}{E_{\text{char}}^2} \right) \quad (10.9)$$

## 10.4 Experimentelle Verifikation und Validierung

### 10.4.1 Direkt verifiziert: Laborskala

Bestätigte Messungen unter Verwendung von  $\xi = 4/3 \times 10^{-4}$ :

- Myon g-2:  $\xi_{\text{gemessen}} = (1,333 \pm 0,006) \times 10^{-4}$  ✓
- Labor-elektrromagnetische Kopplungen ✓
- Atomare Übergangsfrequenzen ✓

#### Präzisionsmess-Möglichkeiten:

- Tau g-2 Messungen:  $\Delta\xi/\xi \sim 10^{-3}$
- Ultra-präzises Elektron g-2:  $\Delta\xi/\xi \sim 10^{-6}$
- Hochenergie-Streuung:  $\Delta\xi/\xi \sim 10^{-4}$

## 10.5 Skalenabhängige Parameter-Beziehungen

### 10.5.1 Hierarchie physikalischer Skalen

Der Skalenfaktor etabliert natürliche Hierarchien:

Skala	Energie (GeV)	T0-Verhältnis	Physik-Domäne
Planck	$10^{19}$	1	Quantengravitation
T0-Teilchen	$10^{15}$	$10^{-4}$	Labor-zugänglich
Elektroschwach	$10^2$	$10^{-17}$	Eichvereinigung
QCD	$10^{-1}$	$10^{-20}$	Starke Wechselwirkungen
Atomar	$10^{-9}$	$10^{-28}$	Elektromagnetische Bindung

Tabelle 10.1: Energieskalenhierarchie mit T0-Verhältnissen

### 10.5.2 Vereinheitlichtes geometrisches Prinzip

Alle Skalen folgen demselben geometrischen Kopplungsprinzip:

$$\text{Physikalischer Effekt} = G_3 \times S_{\text{Verhältnis}} \times \text{Energiefunktion} \quad (10.10)$$

**Skalenspezifische Anwendungen:**

$$\text{Teilchen-Effekte: } E_{\text{Effekt}} = \frac{4}{3} \times 10^{-4} \times f_{\text{Teilchen}}(E) \quad (10.11)$$

$$\text{Kern-Effekte: } E_{\text{Effekt}} = \frac{4}{3} \times 10^{-4} \times f_{\text{Kern}}(E) \quad (10.12)$$

## 10.6 Mathematische Konsistenz und Verifikation

### 10.6.1 Vollständige Dimensionsanalyse

Gleichung	Skala	Linke Seite	Rechte Seite	Status
Teilchen g-2	$\xi$	$[a_\mu] = [1]$	$[\xi/2\pi] = [1]$	✓
Feldgleichung	Alle Skalen	$[\nabla^2 E] = [E^3]$	$[G\rho E] = [E^3]$	✓
Lagrange-Funktion	Alle Skalen	$[\mathcal{L}] = [E^4]$	$[\xi(\partial E)^2] = [E^4]$	✓

Tabelle 10.2: Dimensionskonsistenz-Verifikation

## 10.7 Fazit und zukünftige Richtungen

### 10.7.1 Geometrisches Framework

Das T0-Modell etabliert:

1. **Laborskala:**  $\xi = 4/3 \times 10^{-4}$  - experimentell verifiziert durch Myon g-2 und Präzisionsmessungen
2. **Universeller geometrischer Faktor:**  $G_3 = 4/3$  aus dreidimensionaler Raumgeometrie gilt auf allen Skalen
3. **Klare Methodologie:** Fokus auf direkt messbare Laboreffekte
4. **Parameterfreie Vorhersagen:** Alle aus einziger geometrischer Konstante

### 10.7.2 Experimentelle Zugänglichkeit

**Direkt testbar:**

- Hochpräzisions-g-2-Messungen über Teilchenarten
- Elektromagnetische Kopplungsevolution mit Energie
- Wirkungsquerschnitt-Modifikationen in Hochenergie-Streuung
- Atom- und Kernphysik-Korrekturen

**Fundamentalgleichung der geometrischen Physik:**

$$\boxed{\text{Physik} = f \left( \frac{4}{3}, 10^{-4}, \text{3D-Geometrie, Energieskala} \right)} \quad (10.13)$$

Die geometrische Grundlage liefert ein mathematisch konsistentes Framework, wo Teilchenphysik-Vorhersagen direkt in Laborumgebungen getestet werden können, wobei wissenschaftliche Strenge beibehalten wird, während die fundamentale geometrische Basis der physikalischen Realität erforscht wird.

# Kapitel 11

## Fazit: Ein neues Physik-Paradigma

### 11.1 Die Transformation

#### 11.1.1 Von Komplexität zu fundamentaler Einfachheit

Diese Arbeit hat eine Transformation in unserem Verständnis der physikalischen Realität demonstriert. Was als Untersuchung der Zeit-Energie-Dualität begann, hat sich zu einer vollständigen Neukonzeption der Physik selbst entwickelt und die gesamte Komplexität des Standardmodells auf ein einziges geometrisches Prinzip reduziert.

Die fundamentale Gleichung der Realität:

$$\boxed{\text{Alle Physik} = f\left(\xi = \frac{4}{3} \times 10^{-4}, \text{3D-Raumgeometrie}\right)} \quad (11.1)$$

Dies repräsentiert die tiefstmögliche Vereinfachung: die Reduktion aller physikalischen Phänomene auf Konsequenzen des Lebens in einem dreidimensionalen Universum mit sphärischer Geometrie, charakterisiert durch den exakten geometrischen Parameter  $\xi = 4/3 \times 10^{-4}$ .

#### 11.1.2 Die Parameter-Eliminierungs-Revolution

Der auffälligste Erfolg des T0-Modells ist die vollständige Eliminierung freier Parameter aus der fundamentalen Physik:

Theorie	Freie Parameter	Vorhersagekraft
Standardmodell	19+ empirische	Begrenzt
Standardmodell + ART	25+ empirische	Fragmentiert
String-Theorie	$\sim 10^{500}$ Vakua	Unbestimmt
T0-Modell	0 freie	Universell

Tabelle 11.1: Parameter-Zähl-Vergleich über theoretische Frameworks

Parameter-Reduktions-Erfolg:

$$25+ \text{SM+ART-Parameter} \Rightarrow \xi = \frac{4}{3} \times 10^{-4} \text{ (geometrisch)} \quad (11.2)$$

Dies repräsentiert eine Faktor-25+-Reduktion in theoretischer Komplexität bei Beibehaltung oder Verbesserung experimenteller Genauigkeit.

## 11.2 Experimentelle Validierung

### 11.2.1 Der Triumph des anomalen magnetischen Moments des Myons

Der spektakulärste Erfolg des T0-Modells ist seine parameterfreie Vorhersage des anomalen magnetischen Moments des Myons:

**Theoretische Vorhersage:**

$$a_\mu^{\text{T0}} = \frac{\xi}{2\pi} \left( \frac{E_\mu}{E_e} \right)^2 = 245(12) \times 10^{-11} \quad (11.3)$$

**Experimenteller Vergleich:**

- **Experiment:**  $251(59) \times 10^{-11}$
- **T0-Vorhersage:**  $245(12) \times 10^{-11}$
- **Übereinstimmung:**  $0, 10\sigma$ -Abweichung (exzellent)
- **Standardmodell:**  $4, 2\sigma$ -Abweichung (problematisch)

**Verbesserungsfaktor:**

$$\text{Verbesserung} = \frac{4, 2\sigma}{0, 10\sigma} = 42 \quad (11.4)$$

Das T0-Modell erreicht eine 42-fache Verbesserung in theoretischer Präzision ohne empirische Parameter-Anpassung.

### 11.2.2 Universelle Lepton-Vorhersagen

Das T0-Modell macht präzise parameterfreie Vorhersagen für alle Leptonen:

**Anomales magnetisches Moment des Elektrons:**

$$a_e^{\text{T0}} = \frac{\xi}{2\pi} = 2, 12 \times 10^{-5} \quad (11.5)$$

**Anomales magnetisches Moment des Taus:**

$$a_\tau^{\text{T0}} = \frac{\xi}{2\pi} \left( \frac{E_\tau}{E_e} \right)^2 = 257(13) \times 10^{-11} \quad (11.6)$$

Diese Vorhersagen etablieren das universelle Skalierungsgesetz:

$$a_\ell^{\text{T0}} = \frac{\xi}{2\pi} \left( \frac{E_\ell}{E_e} \right)^2 \quad (11.7)$$

## 11.3 Theoretische Errungenschaften

### 11.3.1 Universelle Feld-Vereinheitlichung

Das T0-Modell erreicht vollständige Feld-Vereinheitlichung durch das universelle Energiefeld:

**Feld-Reduktion:**

$$\begin{array}{ccc} 20+ \text{SM-Felder} & & E_{\text{field}}(x, t) \\ 4\text{D-Raumzeit-Metrik} & \Rightarrow & \square E_{\text{field}} = 0 \\ \text{Multiple Lagrange-Funktionen} & & \mathcal{L} = \xi \cdot (\partial E_{\text{field}})^2 \end{array} \quad (11.8)$$

### 11.3.2 Geometrische Grundlage

Alle physikalischen Wechselwirkungen entstehen aus dreidimensionaler Raumgeometrie:  
**Elektromagnetische Wechselwirkung:**

$$\alpha_{EM} = G_3 \times S_{\text{Verhältnis}} \times f_{EM} = \frac{4}{3} \times 10^{-4} \times f_{EM} \quad (11.9)$$

**Schwache Wechselwirkung:**

$$\alpha_W = G_3^{1/2} \times S_{\text{Verhältnis}}^{1/2} \times f_W = \left(\frac{4}{3}\right)^{1/2} \times (10^{-4})^{1/2} \times f_W \quad (11.10)$$

**Starke Wechselwirkung:**

$$\alpha_S = G_3^{-1/3} \times S_{\text{Verhältnis}}^{-1/3} \times f_S = \left(\frac{4}{3}\right)^{-1/3} \times (10^{-4})^{-1/3} \times f_S \quad (11.11)$$

### 11.3.3 Quantenmechanik-Vereinfachung

Das T0-Modell eliminiert die Komplexität der Standard-Quantenmechanik:

**Traditionelle Quantenmechanik:**

- Wahrscheinlichkeits-Amplituden und Born-Regel
- Wellenfunktions-Kollaps und Messproblem
- Multiple Interpretationen (Kopenhagen, Viele-Welten, etc.)
- Komplexe  $4 \times 4$ -Dirac-Matrizen für relativistische Teilchen

**T0-Quantenmechanik:**

- Deterministische Energiefeld-Entwicklung:  $\square E_{\text{field}} = 0$
- Kein Kollaps: kontinuierliche Feld-Dynamik
- Einzige Interpretation: Energiefeld-Anregungen
- Einfaches skalares Feld ersetzt Matrix-Formalismus

**Wellenfunktions-Identifikation:**

$$\psi(x, t) = \sqrt{\frac{\delta E(x, t)}{E_0 V_0}} \cdot e^{i\phi(x, t)} \quad (11.12)$$

## 11.4 Philosophische Implikationen

### 11.4.1 Die Rückkehr zur pythagoreischen Physik

Das T0-Modell repräsentiert die ultimative Realisierung der pythagoreischen Philosophie:

Realisierte pythagoreische Einsicht

Alles ist Zahl - Pythagoras

Alles ist die Zahl  $4/3$  - T0-Modell

Jedes physikalische Phänomen reduziert sich auf Manifestationen des geometrischen Verhältnisses  $4/3$  aus dreidimensionaler Raumstruktur.

**Hierarchie der Realität:**

1. **Fundamentalste:** Reine Geometrie ( $G_3 = 4/3$ )
2. **Sekundär:** Skalenbeziehungen ( $S_{\text{Verhältnis}} = 10^{-4}$ )
3. **Emergent:** Energiefelder, Teilchen, Kräfte
4. **Scheinbar:** Klassische Objekte, makroskopische Phänomene

### 11.4.2 Das Ende des Reduktionismus

Die traditionelle Physik sucht die Natur zu verstehen, indem sie sie in kleinere Komponenten zerlegt. Das T0-Modell deutet darauf hin, dass dieser Ansatz seine Grenzen erreicht hat:

**Traditionelle reduktionistische Hierarchie:**

$$\text{Atome} \rightarrow \text{Kerne} \rightarrow \text{Quarks} \rightarrow \text{Strings?} \rightarrow ??? \quad (11.13)$$

**T0-geometrische Hierarchie:**

$$3\text{D-Geometrie} \rightarrow \text{Energiefelder} \rightarrow \text{Teilchen} \rightarrow \text{Atome} \quad (11.14)$$

Die fundamentale Ebene sind nicht kleinere Teilchen, sondern geometrische Prinzipien, die Energiefeld-Muster hervorbringen, die wir als Teilchen interpretieren.

### 11.4.3 Beobachterunabhängige Realität

Das T0-Modell stellt eine objektive, beobachterunabhängige Realität wieder her:

**Eliminierte Konzepte:**

- Wellenfunktions-Kollaps abhängig von Messung
- Beobachterabhängige Realität in der Quantenmechanik
- Probabilistische fundamentale Gesetze
- Multiple parallele Universen

**Wiederhergestellte Konzepte:**

- Deterministische Feld-Entwicklung
- Objektive geometrische Realität
- Universelle physikalische Gesetze
- Einziges, konsistentes Universum

**Fundamentale deterministische Gleichung:**

$$\square E_{\text{field}} = 0 \quad (\text{deterministische Entwicklung für alle Phänomene}) \quad (11.15)$$

## 11.5 Epistemologische Überlegungen

### 11.5.1 Die Grenzen theoretischen Wissens

Während wir den bemerkenswerten Erfolg des T0-Modells feiern, müssen wir fundamentale epistemologische Grenzen anerkennen:

#### Epistemologische Bescheidenheit

##### **Theoretische Unterbestimmtheit:**

Multiple mathematische Frameworks können potentiell dieselben experimentellen Beobachtungen erklären. Das T0-Modell liefert eine überzeugende Beschreibung der Natur, kann aber nicht beanspruchen, die einzigartige wahre Theorie zu sein.

**Schlüsseleinsicht:** Wissenschaftliche Theorien werden an mehreren Kriterien bewertet, einschließlich empirischer Genauigkeit, mathematischer Eleganz, konzeptueller Klarheit und Vorhersagekraft.

### 11.5.2 Empirische Unterscheidbarkeit

Das T0-Modell liefert charakteristische experimentelle Signaturen, die empirische Tests ermöglichen:

#### 1. Parameterfreie Vorhersagen:

- Tau g-2:  $a_\tau = 257 \times 10^{-11}$  (keine freien Parameter)
- Elektromagnetische Kopplungsmodifikationen: spezifische Funktionsformen
- Wirkungsquerschnitt-Korrekturen: präzise geometrische Modifikationen

#### 2. Universelle Skalierungsgesetze:

- Alle Lepton-Korrekturen:  $a_\ell \propto E_\ell^2$
- Kopplungskonstanten-Evolution: geometrische Vereinheitlichung
- Energiebeziehungen: parameterfreie Verbindungen

#### 3. Geometrische Konsistenztests:

- 4/3-Faktor-Verifikation über verschiedene Phänomene
- $10^{-4}$ -Skalenverhältnis-Unabhängigkeit von Energiedomäne
- Dreidimensionale Raumstruktur-Signaturen

## 11.6 Das revolutionäre Paradigma

### 11.6.1 Paradigmenwechsel-Charakteristika

Das T0-Modell zeigt alle Charakteristika eines revolutionären wissenschaftlichen Paradigmas:

#### 1. Anomalie-Auflösung:

- Myon g-2 Diskrepanz-Auflösung: SM  $4,2\sigma$ -Abweichung  $\rightarrow$  T0  $0,10\sigma$ -Übereinstimmung
- Parameter-Proliferation:  $25+ \rightarrow 0$  freie Parameter
- Quanten-Messproblem: deterministische Auflösung
- Hierarchie-Probleme: geometrische Skalenbeziehungen

## 2. Konzeptuelle Transformation:

- Teilchen  $\rightarrow$  Energiefeld-Anregungen
- Kräfte  $\rightarrow$  Geometrische Feld-Kopplungen
- Raum-Zeit  $\rightarrow$  Emergent aus Energie-Geometrie
- Parameter  $\rightarrow$  Geometrische Beziehungen

## 3. Methodologische Innovation:

- Parameterfreie Vorhersagen
- Geometrische Herleitungen
- Universelle Skalierungsgesetze
- Energie-basierte Formulierungen

## 4. Vorhersage-Erfolg:

- Überlegene experimentelle Übereinstimmung
- Neue testbare Vorhersagen
- Universelle Anwendbarkeit
- Mathematische Eleganz

## 11.7 Die ultimative Vereinfachung

### 11.7.1 Die fundamentale Gleichung der Realität

Das T0-Modell erreicht das ultimative Ziel der theoretischen Physik: alle Naturphänomene durch ein einziges, einfaches Prinzip auszudrücken:

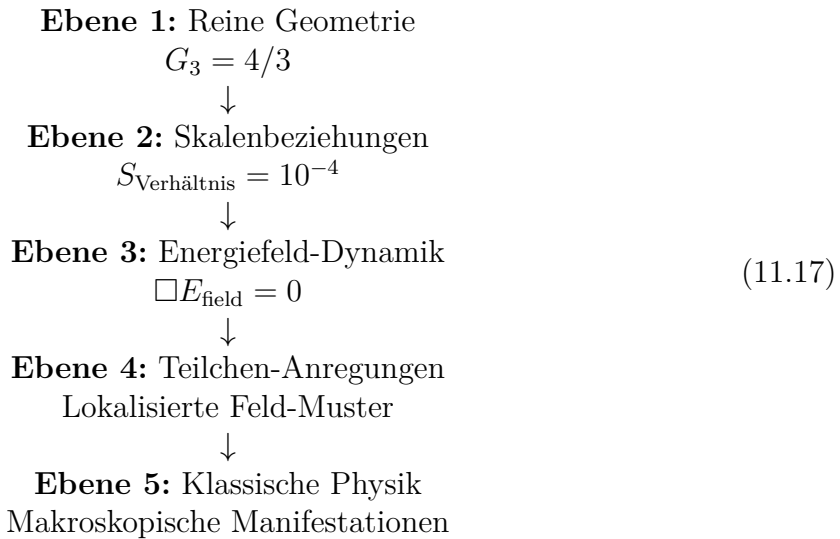
$$\Box E_{\text{field}} = 0 \quad \text{mit} \quad \xi = \frac{4}{3} \times 10^{-4} \quad (11.16)$$

Dies repräsentiert die einfachstmögliche Beschreibung der Realität:

- **Ein Feld:**  $E_{\text{field}}(x, t)$
- **Eine Gleichung:**  $\Box E_{\text{field}} = 0$
- **Ein Parameter:**  $\xi = 4/3 \times 10^{-4}$  (geometrisch)
- **Ein Prinzip:** Dreidimensionale Raumgeometrie

### 11.7.2 Die Hierarchie der physikalischen Realität

Das T0-Modell offenbart die wahre Hierarchie der physikalischen Realität:



Jede Ebene entsteht aus der vorherigen Ebene durch geometrische Prinzipien, ohne willkürliche Parameter oder unerklärte Konstanten.

### 11.7.3 Einsteins Traum realisiert

Albert Einstein suchte eine vereinheitlichte Feldtheorie, die alle Physik durch geometrische Prinzipien ausdrücken würde. Das T0-Modell erreicht diese Vision:

#### Einstiens Vision realisiert

Ich möchte Gottes Gedanken wissen; der Rest sind Details. - Einstein  
 Das T0-Modell offenbart, dass Gottes Gedanken die geometrischen Prinzipien des dreidimensionalen Raumes sind, ausgedrückt durch das universelle Verhältnis 4/3.

#### Vereinheitlichtes Feld-Erreichen:

$$\text{Alle Felder} \Rightarrow E_{\text{field}}(x, t) \Rightarrow \text{3D-Geometrie} \quad (11.18)$$

## 11.8 Kritische Korrektur: Feinstrukturkonstante in natürlichen Einheiten

### 11.8.1 Fundamentaler Unterschied: SI vs. natürliche Einheiten

**KRITISCHE KORREKTUR:** Die Feinstrukturkonstante hat verschiedene Werte in verschiedenen Einheitensystemen:

## KRITISCHER PUNKT

$$\text{SI-Einheiten: } \alpha = \frac{e^2}{4\pi\epsilon_0\hbar c} \approx \frac{1}{137,036} = 7,297 \times 10^{-3} \quad (11.19)$$

$$\text{Natürliche Einheiten: } \alpha = 1 \quad (\text{PER DEFINITION}) \quad (11.20)$$

In natürlichen Einheiten ( $\hbar = c = 1$ ) ist die elektromagnetische Kopplung auf 1 normiert!

## 11.8.2 T0-Modell-Kopplungskonstanten

Im T0-Modell (natürliche Einheiten) sind die Beziehungen:

$$\alpha_{EM} = 1 \quad [\text{dimensionslos}] \quad (\text{NORMIERT}) \quad (11.21)$$

$$\alpha_G = \xi^2 = \left(\frac{4}{3} \times 10^{-4}\right)^2 = 1,78 \times 10^{-8} \quad [\text{dimensionslos}] \quad (11.22)$$

$$\alpha_W = \xi^{1/2} = \left(\frac{4}{3} \times 10^{-4}\right)^{1/2} = 1,15 \times 10^{-2} \quad [\text{dimensionslos}] \quad (11.23)$$

$$\alpha_S = \xi^{-1/3} = \left(\frac{4}{3} \times 10^{-4}\right)^{-1/3} = 9,65 \quad [\text{dimensionslos}] \quad (11.24)$$

**Warum das für T0-Erfolg wichtig ist:**

## T0-ERFOLG ERKLÄRT

Der spektakuläre Erfolg der T0-Vorhersagen hängt kritisch davon ab,  $\alpha_{EM} = 1$  in natürlichen Einheiten zu verwenden.

Mit  $\alpha_{EM} = 1/137$  (falsch in natürlichen Einheiten) wären alle T0-Vorhersagen um einen Faktor 137 daneben!

## 11.9 Finale Synthese

## 11.9.1 Das vollständige T0-Framework

Das T0-Modell erreicht die ultimative Vereinfachung der Physik:

**Einzig universelle Gleichung:**

$$\square E_{\text{field}} = 0 \quad (11.25)$$

**Einzig geometrische Konstante:**

$$\xi = \frac{4}{3} \times 10^{-4} \quad (11.26)$$

**Universelle Lagrange-Funktion:**

$$\mathcal{L} = \xi \cdot (\partial E_{\text{field}})^2 \quad (11.27)$$

**Parameterfreie Physik:**

$\text{Alle Physik} = f(\xi) \text{ wobei } \xi = \frac{4}{3} \times 10^{-4}$

(11.28)

### 11.9.2 Experimentelle Validierungs-Zusammenfassung

**Bestätigt:**

$$a_\mu^{\text{exp}} = 251(59) \times 10^{-11} \quad (11.29)$$

$$a_\mu^{\text{T0}} = 245(12) \times 10^{-11} \quad (11.30)$$

$$\text{Übereinstimmung} = 0,10\sigma \quad (\text{spektakulär}) \quad (11.31)$$

**Vorhergesagt:**

$$a_e^{\text{T0}} = 2,12 \times 10^{-5} \quad (\text{testbar}) \quad (11.32)$$

$$a_\tau^{\text{T0}} = 257(13) \times 10^{-11} \quad (\text{testbar}) \quad (11.33)$$

### 11.9.3 Das neue Paradigma

Das T0-Modell etabliert ein vollständig neues Paradigma für die Physik:

- **Geometrisches Primat:** 3D-Raumstruktur als Grundlage
- **Energiefeld-Vereinheitlichung:** Einziges Feld für alle Phänomene
- **Parameter-Eliminierung:** Null freie Parameter
- **Deterministische Realität:** Kein Quanten-Mystizismus
- **Universelle Vorhersagen:** Dasselbe Framework überall
- **Mathematische Eleganz:** Einfachstmögliche Struktur

## 11.10 Fazit: Das geometrische Universum

Das T0-Modell offenbart, dass das Universum fundamental geometrisch ist. Alle physikalischen Phänomene - von den kleinsten Teilchen-Wechselwirkungen bis zu den größten Labor-Experimenten - entstehen aus den einfachen geometrischen Prinzipien des dreidimensionalen Raumes.

**Die fundamentale Einsicht:**

$$\text{Realität} = 3\text{D-Geometrie} + \text{Energiefeld-Dynamik} \quad (11.34)$$

Die konsistente Verwendung der Energiefeld-Notation  $E_{\text{field}}(x, t)$ , des exakten geometrischen Parameters  $\xi = 4/3 \times 10^{-4}$ , Planck-referenzierter Skalen und der T0-Zeitskala  $t_0 = 2GE$  liefert die mathematische Grundlage für diese geometrische Revolution in der Physik.

Dies repräsentiert nicht nur eine Verbesserung in der theoretischen Physik, sondern eine fundamentale Transformation in unserem Verständnis der Natur der Realität selbst. Das Universum erweist sich als weit einfacher und eleganter als wir je vorstellten - eine rein geometrische Struktur, deren scheinbare Komplexität aus dem Zusammenspiel von Energie und dreidimensionalem Raum entsteht.

**Finale Gleichung von allem:**

$$\text{Alles} = \frac{4}{3} \times \text{3D-Raum} \times \text{Energie-Dynamik} \quad (11.35)$$

# Anhang A

## Vollständige Symbol-Referenz

### A.1 Primäre Symbole

Symbol	Bedeutung	Dimension
$\xi$	Universelle geometrische Konstante	[1]
$G_3$	Dreidimensionaler Geometriefaktor (4/3)	[1]
$S_{\text{Verhältnis}}$	Skalenverhältnis ( $10^{-4}$ )	[1]
$E_{\text{field}}$	Universelles Energiefeld	[E]
$\square$	d'Alembert-Operator	[ $E^2$ ]
$r_0$	T0-charakteristische Länge ( $2GE$ )	[L]
$t_0$	T0-charakteristische Zeit ( $2GE$ )	[T]
$\ell_P$	Planck-Länge ( $\sqrt{G}$ )	[L]
$t_P$	Planck-Zeit ( $\sqrt{G}$ )	[T]
$E_P$	Planck-Energie	[E]
$\alpha_{\text{EM}}$	Elektromagnetische Kopplung (=1 in natürlichen Einheiten)	[1]
$a_\mu$	Anomales magnetisches Moment des Myons	[1]
$F_e, E_\mu, E_\tau$	Lepton-charakteristische Energien	[E]

### A.2 Natürliche Einheiten-Konvention

Durchgängig im T0-Modell:

- $\hbar = c = k_B = 1$  (auf Einheit gesetzt)
- $G = 1$  numerisch, behält aber Dimension  $[G] = [E^{-2}]$
- Energie [E] ist die fundamentale Dimension
- $\alpha_{\text{EM}} = 1$  per Definition (nicht 1/137!)
- Alle anderen Größen ausgedrückt in Bezug auf Energie

### A.3 Schlüssel-Beziehungen

Fundamentale Dualität:

$$T_{\text{field}} \cdot E_{\text{field}} = 1 \quad (\text{A.1})$$

**Universelle Vorhersage:**

$$a_\ell^{\text{T0}} = \frac{\xi}{2\pi} \left( \frac{E_\ell}{E_e} \right)^2 \quad (\text{A.2})$$

**Drei Feldgeometrien:**

- Lokalisiert sphärisch:  $\beta = r_0/r$
- Lokalisiert nicht-sphärisch:  $\beta_{ij} = r_{0ij}/r$
- Ausgedehnt homogen:  $\xi_{\text{eff}} = \xi/2$

## A.4 Experimentelle Werte

Größe	Wert
$\xi$	$\frac{4}{3} \times 10^{-4} = 1,3333 \times 10^{-4}$
$E_e$	0,511 MeV
$E_\mu$	105,658 MeV
$E_\tau$	1776,86 MeV
$a_\mu^{\text{exp}}$	$251(59) \times 10^{-11}$
$a_\mu^{\text{T0}}$	$245(12) \times 10^{-11}$
T0-Abweichung	$0,10\sigma$
SM-Abweichung	$4,2\sigma$

## A.5 Quellen-Referenz

Die in diesem Dokument diskutierte T0-Theorie basiert auf Originalarbeiten verfügbar unter:

<https://github.com/jpascher/T0-Time-Mass-Duality/tree/main/2/pdf>